

دیرینه‌شناسی و محیط‌های رسوبی بخش بالایی سازند پابده و بخش زیرین سازند آسماری در چاه‌های A و B میدان نفتی مارون، شمال خاوری اهواز

محمد گودرزی^{۱*}، حسن امیری بختیار^۲ و محمد رضا نورایی‌نژاد^۳

۱- گروه زمین‌شناسی، دانشکده علوم پایه، دانشگاه فردوسی مشهد، مشهد

۲- شرکت ملی نفت مناطق نفت‌خیز جنوب، اهواز

۳- دانشکده علوم‌زمین، دانشگاه شهید بهشتی، تهران

*mohammadgoodarzi45@yahoo.com نویسنده مسئول:

دریافت: ۹۸/۸/۱۷ پذیرش: ۹۸/۱۰/۱۷

چکیده

در این پژوهش برای شناسایی سن، شناسایی ریزرساره‌ها، محیط‌های رسوبی و اجتماعات کربناته شمار ۱۰۰ برش نازک میکروسکوپی از چاه A (۲۷۵/۵ متر سبیرا) و ۱۵۰ برش نازک میکروسکوپی از چاه B (۲۷۲/۵ متر سبیرا) بخش بالایی سازند پابده و بخش زیرین سازند آسماری مورد بررسی قرار گرفت. سنگ‌شناسی چیره در این چاه‌ها سنگ‌آهک، سنگ‌آهک دولومیتی، ماسه‌سنگ و شیل‌آهکی بوده و مرز بین دو سازند در این دو چاه بصورت تدریجی و پیوسته است. پس از بررسی برش‌های نازک میکروسکوپی شمار ۴۰ جنس و ۵۷ گونه در چاه A و ۴۲ جنس و ۶۰ گونه در چاه B از فرامینیفرهای بنتیک و پلانکتون شناسایی شد. بر پایه جنس و گونه‌های شناسایی شده و پخش و پراکندگی عمودی فرامینیفرهای، سه زون زیستی ابانتی به سن ائوسن پسین - شاتین معرفی شد.

1- *Globigerina spp* - *Hantkenina sp* - *Turborotalia cerroazulensis* Assemblage zone

2- *Lepidocyclina* - *operculina* - *Ditrupa* Assemblage zone

3- *Archaias hensonii* - *Archaias asmaricus* - *Miogypsinoides complanatus* - *Spiroclypeus blanckenhorni* Assemblage zone.

بر پایه شناسایی آلوكم‌ها، شمار ۸ ریزرساره در چاه A و ۶ ریزرساره در چاه B وابسته به محیط‌های حوضه، رمپ بیرونی، رمپ میانی (بخش‌های دیستال و پروکسیمال)، شول و رمپ درونی (ریف کومه‌ای و لاغون باز) شناسایی شدند. همچنین بر پایه شناسایی آلوكم‌ها و ریزرساره‌ها شمار ۴ اجتماع کربناته نانوفر، روآلگال، فورآلگال و فورامول شناسایی شد.

واژه‌های کلیدی: فرامینیفرهای بنتیک، ائوسن، الیگوسن، محیط رسوب‌گذاری، رمپ کربناته

حسین‌زاده، ۱۳۸۷؛ بهاران و همکاران، ۱۳۸۹؛ صادقی و

هداوندخانی، ۱۳۸۹؛ کریمی و پروانه‌نژاد شیرازی، ۱۳۹۱؛

ثبتوت و هادوی، ۱۳۹۱ و هداوندخانی، ۱۳۹۷، ۱۳۹۶،

۱۳۹۳ (۱۳۹۳) اشاره کرد. سازند آسماری جوان‌ترین سنگ

مخزن زاگرس است و به دلیل اهمیت اقتصادی آن (تولید

مواد هیدرولوکبئی) پژوهش‌های گستردۀ‌ای بر روی آن

انجام شده است. رسوبات پلاتفرم کربناته‌ای که سازند

آسماری را تشکیل می‌دهند، شامل تشمای از بزرگ‌ترین

ذخایر نفتی در جهان می‌باشند (علوی، ۲۰۰۴). این

سازند در برش‌های کامل خود دارای دو بخش یکی بخش

ماسه‌سنگی اهواز در جنوب‌باقتر خوزستان و دیگری

بخش تبخیری کلهر در لرستان بوده (آقانباتی، ۱۳۸۵) و

به لحاظ زیست‌چینه‌ای این سازند به سه واحد آسماری

پیشگفتار

سازند پابده در گستره وسیعی از حوضه زاگرس، از

پالئوسن تا الیگوسن و حتی میوسن آغازی (منطقه

لرستان) نهشته شده و به عنوان یک سنگ منشا و گاه به

عنوان سنگ مخزن از اهمیت ویژه‌ای در مطالعات نفتی و

مواد هیدرولوکبئی برخوردار است (هداوند خانی، ۱۳۹۷).

پژوهش‌های انجام شده در مناطق مختلف حوضه زاگرس

نشان‌دهنده تغییرات چشمگیری در سبیرا، سنگ‌شناسی،

مرزهای زیرین و بالایی، محتویات فسیلی و سن سازند

یادشده از جایی به جای دیگر چه در رخمنون‌های

سطحی و در برش‌های زیرسطحی می‌باشد (هداوند خانی،

۱۳۹۶). در این راستا می‌توان به کارهای پژوهشگران

مختلفی مانند، (تجفی، ۱۳۷۷؛ گرمابی و وزیری، ۱۳۸۶؛

بخاطر اهمیت این دو سازند، این پژوهش اهداف زیر را در نبال می‌کند:

- ۱- زیست‌چینه‌نگاری بخش بالایی سازند پابده و بخش زیرین سازند آسماری در چاههای A و B و بررسی زون‌های زیستی موجود بر پایه (لارسن و همکاران، ۲۰۰۹ و بن بوخم و همکاران، ۲۰۱۰).
- ۲- بررسی و شناسایی ریزخسارهای و محیط‌های رسوبی بخش بالایی سازندهای پابده و بخش زیرین سازند آسماری در چاههای A و B.
- ۳- همبستگی چینه‌شناسی (تطابق زیست‌چینه‌نگاری) چاههای مورد مطالعه.
- ۴- شناسایی اجتماعات کربناته بخش بالایی سازند پابده و بخش زیرین سازند آسماری.

جایگاه جغرافیایی

میدان نفتی مارون در چهل کیلومتری شمال خاور شهرستان اهواز، در جنوب فروافتادگی دزفول شمالی، و در میان این ساختمان در امتداد تاقدیس‌های آغازاری و رامین قرار گرفته است. این میدان در افق آسماری دارای ۶۷/۵ کیلومتر درازا و میانگین ۵/۵ کیلومتر پهنا (در بیش‌ترین حالت ۷ کیلومتر و در کمترین حالت ۳/۵ کیلومتر) است. این میدان از شمال توسط میدان رامین، از جنوب توسط میدان رامشیر، از خاور توسط میدان کوپال و از باخته و شمال باخته توسط میدان‌های اهواز و شادگان محدود شده است (شکل ۱).

روش پژوهش

به منظور انجام این پژوهش شمار ۱۰۰ برش نازک از ۲۷۵/۵ متر (عمدتاً مغزه‌های حفاری و با شمار کمتر خردۀ‌های حفاری) از چاه A و ۱۵۰ برش نازک از ۲۷۲/۵ متر (خرده‌های حفاری و مغزه‌های حفاری) از چاه B به منظور شناسایی میکروفسیل‌ها، زیست‌چینه‌نگاری، شناسایی آلومک‌ها، شناسایی رخسارهای و محیط‌های رسوبی و اجتماعات کربناته بطور دقیق مورد بررسی قرار گرفت. برای شناسایی فرامینیفرهای بنتیک از منابعی مانند (آدامز و بورژوا، ۱۹۶۷؛ لوبليش و تاپان، ۱۹۸۰؛ بوداکر و فادل، ۲۰۰۸) همچنین برای شناسایی

پایینی به سن الیگومن، آسماری میانی به سن میوسن پیشین (آکی‌تانین) و آسماری بالایی به سن میوسن پیشین (بوردیگالین) تقسیم‌بندی شده که در همه جا دیده نمی‌شود (آقانباتی، ۱۳۸۵). در بیش‌تر نقاط مرز زیرین سازند آسماری، سازند پابده می‌باشد ولی در لرستان مرکزی این سازند با سازند کربناتی شهبازان و در فارس داخلی با سازند جهرم بصورت ناپیوستگی پیوسته^۱ نما هم‌است (آقانباتی، ۱۳۸۵). در بیش‌تر نقاط، سازند آسماری با سازند تبخری (اندیریتی) گچساران پوشیده شده ولی در فارس داخلی بوسیله سازند رازک پوشیده می‌شود (آقانباتی، ۱۳۸۵). به دلیل اهمیت سازند آسماری (دارا بودن ویژگی‌های سنگ مخزن) در چرخه منابع هیدرولکربنی پژوهش‌های گسترده‌ای بر روی آن در زمینه‌های مختلف انجام شده است که در زیر برخی از مهم‌ترین مطالعات انجام شده یاد شده است:

(باسک و مایو، ۱۹۱۸؛ ریچاردسون، ۱۹۲۴؛ لیز، ۱۹۳۳؛ ریچل، ۱۹۳۶؛ ۱۹۳۷-۱۹۳۸؛ گلپ، ۱۹۴۰؛ فورن، ۱۹۴۱؛ توماس، ۱۹۴۸؛ لاکاساجن، ۱۹۶۳؛ وايند، ۱۹۶۵؛ آدامز و بورژوا، ۱۹۶۷).

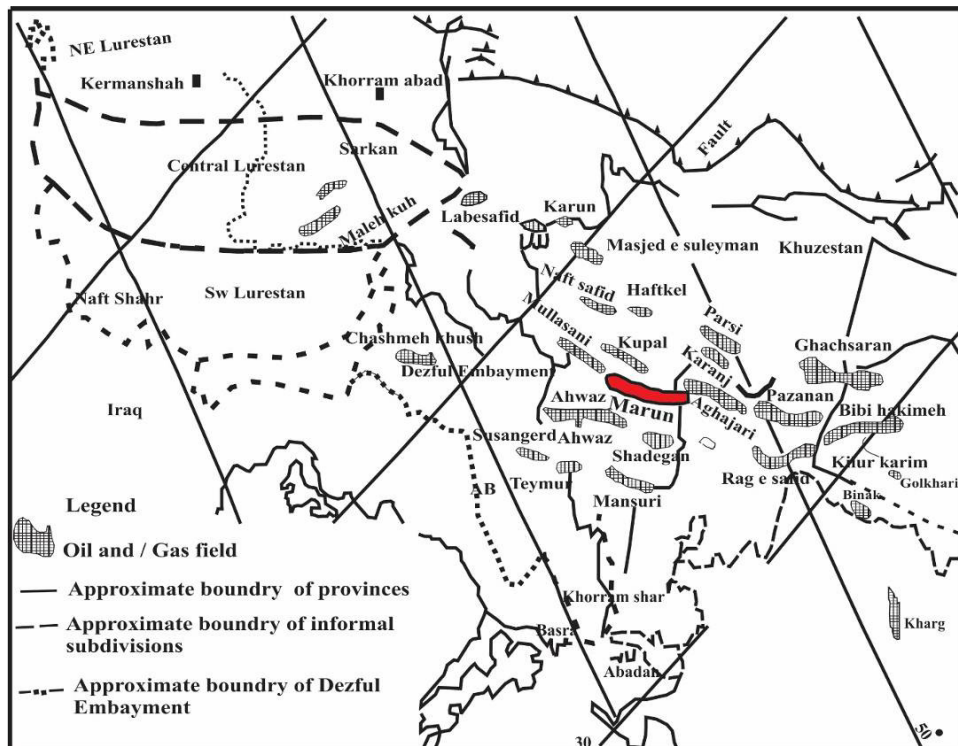
همچنین در سال‌های اخیر پژوهش‌های بسیاری بر روی ویژگی‌های سنگ چینه‌نگاری، زیست‌چینه‌نگاری، چینه‌نگاری سکانسی و ... انجام شده است که در زیر به مهم‌ترین آن‌ها اشاره شده است:

(آرجانی و همکاران، ۱۳۹۰؛ کلنات و همکاران، ۱۳۹۳، ۱۳۸۹؛ طاهری و همکاران، ۱۳۹۴؛ وزیری‌مقدم و همکاران، ۱۳۹۴؛ رحیم‌زاده و همکاران، ۱۳۹۴؛ خوشنود و همکاران، ۱۳۹۵؛ براری و همکاران، ۱۳۹۶؛ غلامپور و همکاران، ۱۳۹۶؛ نیسی و همکاران، ۱۳۹۶؛ گودرزی و همکاران، ۱۳۹۸؛ رحیم‌آبادی و همکاران، ۱۳۹۸؛ زارع و همکاران، ۱۳۹۸ و کمالی‌فر و همکاران، ۱۳۹۸). (اهرنبرگ و همکاران، ۲۰۰۷؛ امیرشاه کرمی و همکاران، ۲۰۰۷؛ لارسن و همکاران، ۲۰۰۹؛ مصدق و همکاران، ۲۰۰۹؛ بن بوخم و همکاران، ۲۰۱۰؛ وزیری‌مقدم و همکاران، ۲۰۱۰؛ صیرفیان و همکاران، ۱۹۹۸؛ ۲۰۰۰، ۲۰۱۱؛ شب افروز و همکاران، ۲۰۱۵؛ طاهری و همکاران، ۲۰۱۷؛ صادقی و همکاران، ۲۰۱۸؛ الله کرم‌پور دیل و همکاران، ۲۰۱۸).

^۱ Paraconformity

شد. برای نام‌گذاری و رده‌بندی سنگ‌ها از (دانهام، ۱۹۶۲ و امبری و کلووان، ۱۹۷۱) همچنین برای شناسایی ریزخسارهای تفسیر آن‌ها از (گیل، ۲۰۰۰؛ ویلسون، ۱۹۷۵؛ باکستون و پدلی، ۱۹۸۹؛ باسی و همکاران، ۲۰۰۷؛ فلوگل، ۲۰۱۰ و پومار، ۲۰۰۷ و ۲۰۱۴) بهره‌گیری شد.

فرامینیفرهای پلانکتون از منابعی مانند (پرمولی سیلوا و همکاران، ۲۰۰۳؛ بواقر و فادل، ۲۰۱۵) و هداوندخانی و همکاران، ۱۳۹۶ – ۱۳۹۷) بهره‌گیری شد. این پژوهش بر روی برش‌های نازک نمونه‌ها انجام شد. بنابراین، از نمونه‌های ایزوله بهره‌گیری نشد. برای تعیین سن از زون‌بندی (لارسن، ۲۰۰۹ و ون بوخ، ۲۰۱۰) بهره‌گیری



شکل ۱. جایگاه جغرافیایی میدان‌های نفتی جنوب‌باخته ایران: (میدان نفتی مارون با رنگ سرخ نشان داده شده است) اقتباس از (نورایی‌نژاد و همکاران، ۱۳۹۷).

بزرگ در رسوبات الیگومن بالایی و میوسن زیرین حوضه اروپا زون‌بندی نوینی را رائه داده که گاهی با برخی از زون‌بندی‌های زیستی ارائه شده پیشین می‌توانست همبسته باشد (جدول ۱). اهرنبرگ و همکاران (۲۰۰۷) با بهره‌گیری از روش چینه‌نگاری ایزوتوپ استرانسیوم پنج حادثه زیستی بر پایه فسیلهای شاخص در سازند آسماری مشخص کردند. ضمن اینکه مشخص شد آخرين حضور جنس *Nummulites* قبل از پایان روپلین، شاتین، Spiroclypeous blanckenhorni به عنوان شاخص شاتین، آخرین حضور جنس *Archaias* نزدیک یا درست بعد از قاعده میوسن، اولین حضور جنس *Miogypsina* در زمان شاتین پسین و گونه *Borelis melo curdica* زمان شاتین پسین و گونه آشکوب بوردیگالین می‌باشد. (لارسن

زیست‌چینه‌نگاری

زون‌بندی زیستی سازند پابده بیشتر بر پایه (وایند، ۱۹۶۵) انجام گرفته و اکثر جنبه محلی داشته و کمتر به زون‌بندی‌های استاندارد انجام شده در محدوده تدبیس (بولی، ۱۹۸۷؛ برگرن و همکاران، ۱۹۹۵، ۲۰۰۰؛ برگرن و پیرسون، ۲۰۰۵؛ وید و همکاران، ۲۰۱۱) توجه شد. با توجه به اینکه در این پژوهش از نمونه‌های برش‌نازک بهره‌گیری شده است بنابراین از زون‌بندی (لارسن و همکاران، ۲۰۰۹) بهره‌گیری شد. زیست‌چینه‌نگاری سازند آسماری توسط (وایند، ۱۹۶۵ و آدامز و بورژوا، ۱۹۶۷) ارائه شد ولی به دلیل ناتوانی در جدایی دو آشکوب روپلین- شاتین مورد بازنگری قرار گرفت (جدول ۱). (کائوزواک و پوئیگنات، ۱۹۹۷) بر پایه روزن‌داران بنتیک

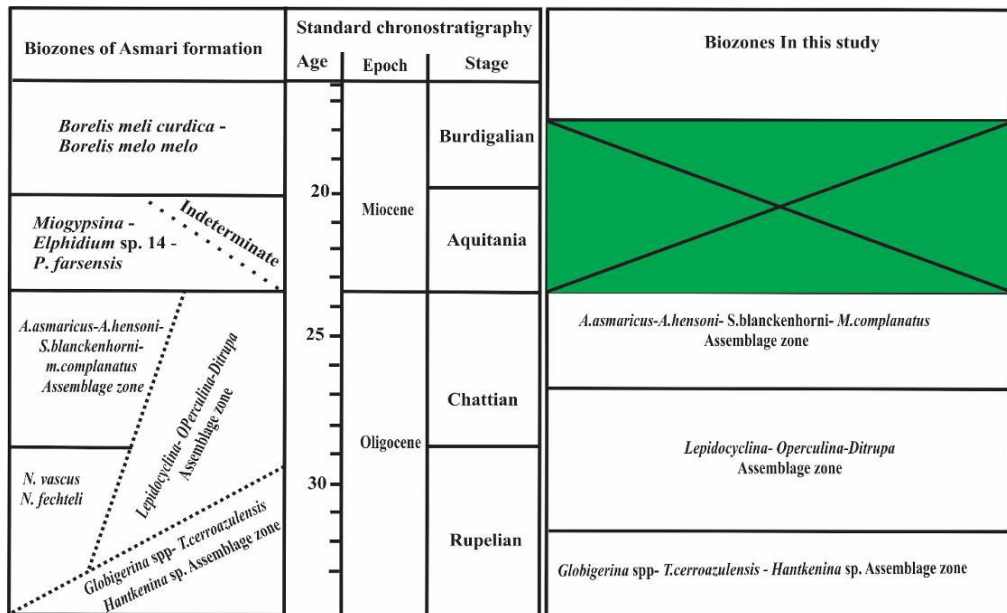
چاه B مربوط به فرامینیفرهای بنتیک و پلانکتون شناسایی شد (Plate 1,2) و بر پایه پخش و پراکندگی عمودی فرامینیفرها سه زون زیستی انباشتی شناسایی شد (جدول ۲ و شکل‌های ۲ و ۳). ضمن اینکه زون زیستی شناسایی شده با زون‌بندی‌های (وایند، ۱۹۶۵؛ آدامز و بورژوا، ۱۹۶۷؛ کائوزاک و پوئیگنات، ۱۹۹۷) مقایسه شده‌اند (جدول ۱).

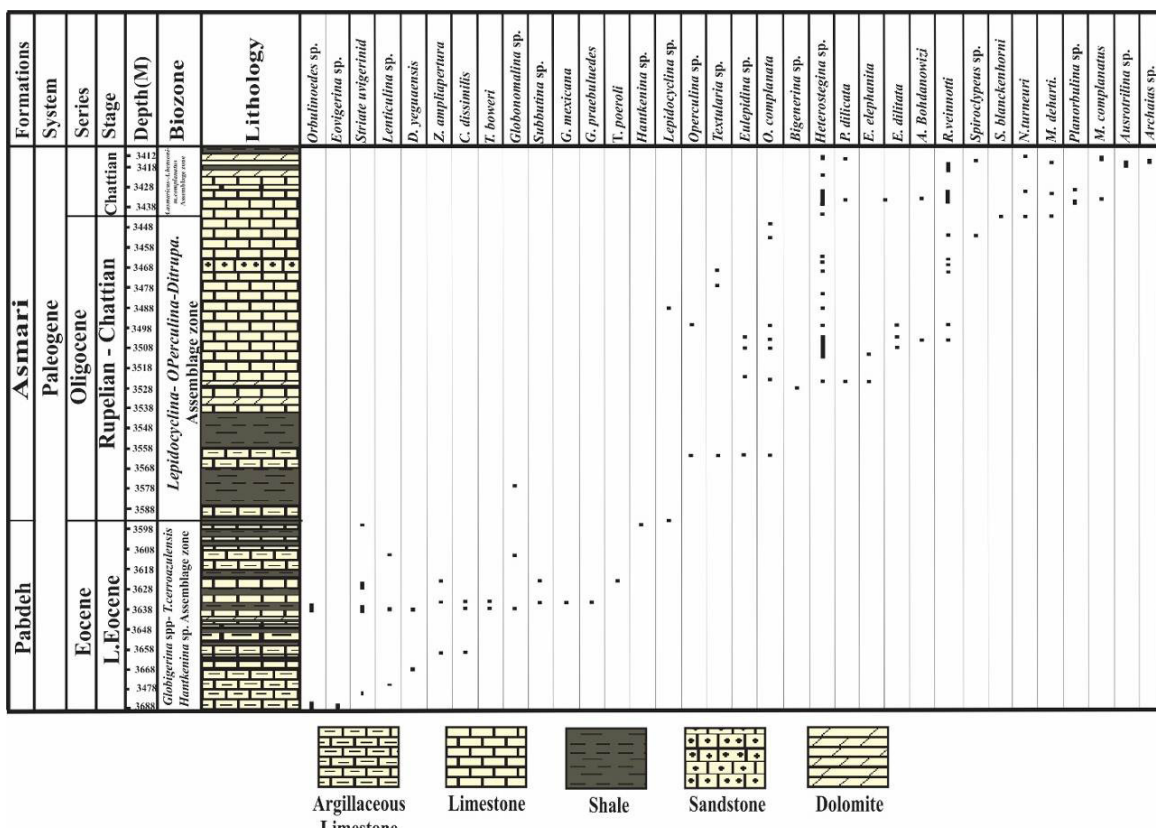
و همکاران، ۲۰۰۹) با بهره‌گیری از داده‌های ایزوتوب استرانسیوم زون‌بندی جدیدی را ارائه دادند و هفت زون از شش زون زیستی و یک زون مبهوم را معرفی کردند (جدول ۲). بن‌بوم و همکاران (۲۰۱۰) پژوهش جامع‌تری بر روی سازند آسماری به ویژه در نواحی نفت‌خیز انجام داده و زون‌بندی ارائه شده توسط (لارسن، ۲۰۰۹) را تایید نمودند. در این پژوهش شمار ۴۰ جنس و ۵۷ گونه از چاه A و ۴۲ جنس و ۵۹ گونه از

جدول ۱. مدل بایوزوناسیون ارائه شده برای سازند آسماری (وایند، ۱۹۶۵؛ آدامز و بورژوا، ۱۹۶۷؛ کائوزاک و پوئیگنات، ۱۹۹۷)

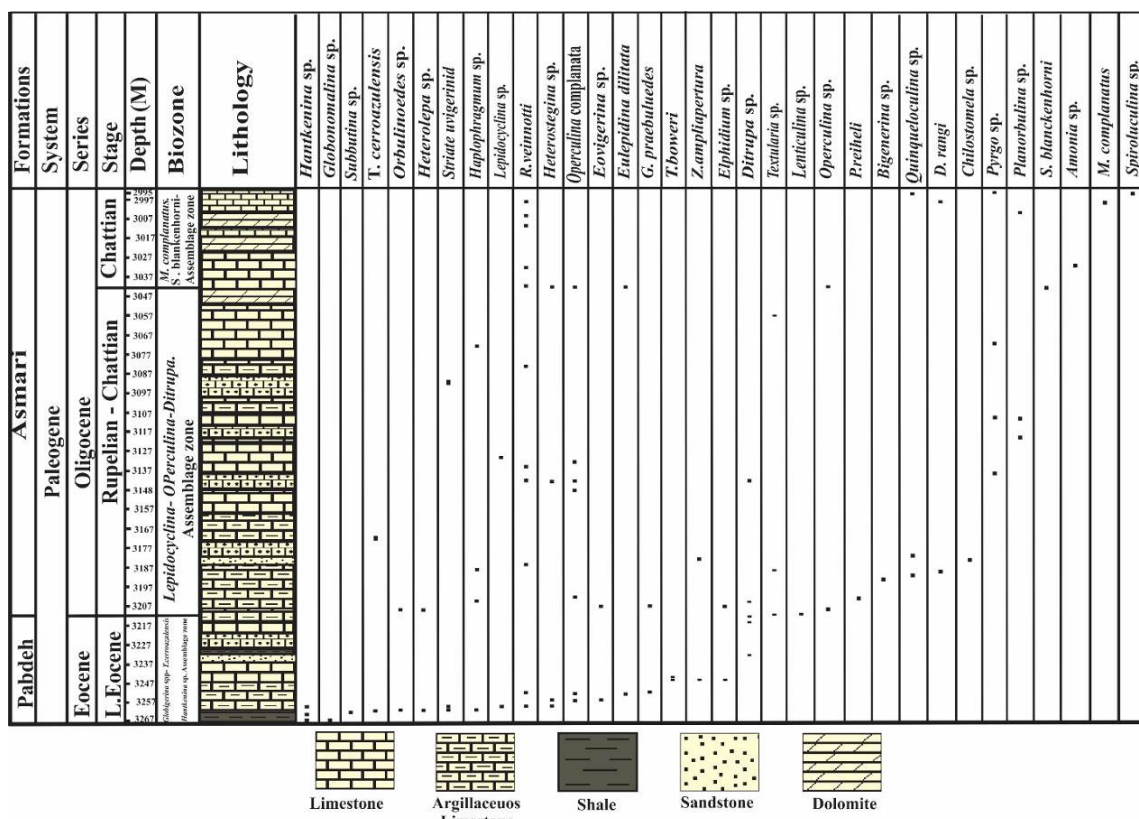
Time units		No.	Wynd (1965)	Adams and Bourgeois (1967)		Cahuzac and Poigna (1997)	
	Burdigalian		Biozone	No.	Assemblage Zone	No.	Assemblage Zone
Miocene	Burdigalian	61	<i>Borelis melo curdica</i>	1	<i>Borelis melo curdica</i> <i>Meandropsina iranica</i>	Sb25	<i>Borelis melo curdica.</i> <i>Miogypsina</i>
	Aquitianian	59	<i>Austrotrilina howchini</i> <i>Peneroplis evolutus</i>	2a	<i>Elphidium sp 14</i> <i>Miogypsina</i>	Sb24	<i>Austrotrilina howchini</i> <i>Miogypsina</i> <i>M. deharti</i>
Oligocene	Chattian	58	<i>Archaias operculiniformis</i>	3	<i>Eulepidina</i> <i>Nephrolepidina</i> <i>Nummulites vascus</i>	Sb23	<i>Miogypsinoides</i> <i>Eulepidina</i>
	Rupelian	57	<i>Nummulites intermedium</i> <i>Nummulites vascus</i>			Sb22	<i>Nummulites vascus</i> <i>Nummulites fichteli-</i> <i>Eulepidina</i>
Oligocene	Chattian	56	<i>Lepidocyclina - Operculina - Ditrupa</i>	4	<i>Globigerina spp</i>	Sb22 A	<i>Eulepidina forosoides</i>
	Rupelian	55	<i>Globigerina spp</i>			Sb21	<i>Nummulites vascus</i> <i>Nummulites fichteli</i>

جدول ۲. ستون استاندارد چینه‌شناسی لارسن و همکاران، ۲۰۰۹ و بایوزون‌های شناسایی شده در چاه‌های مورد بررسی





شکل ۲. ستون چینه‌شناسی و گسترش عمودی فرامینیفر از چاه A (تنها فسیل‌های شاخص در نمودار گستره ترسیم شده است).



شکل ۳. ستون چینه‌شناسی و گسترش عمودی فرامینیفر از چاه B (تنها فسیل‌های شاخص در نمودار گستره ترسیم شده است).

Spiroclypeus blanckenhorni بهره‌گیری از حضور گونه مرز دو اشکوب روپلین و شاتین از هم تفکیک شده است، بنابراین سن این زون زیستی روپلین - شاتین می‌باشد. مجموعه فسیل‌های همراه در این بایوزون عبارت‌اند از:

Rotalia viennotti, *Lepidocyclina sp.*, *Operculina sp.*, *O. complanata*, *Eulepidina sp.*, *E. dilatata*, *E. elephantina*, *Heterostegina sp.*, *H. precursor*, *Bigenerina sp.*, *Textularia sp.*, *Asterigerina sp.*, *Amphistegina sp.*, *A. cf bohdaniczii*, *A. cf conoides*, *Haplophragmium sp.*, *Spiroclypeus sp.*, *Pyrgo sp.*, *Onychocella sp.*, *Quinqueloculina sp.*, *Chilostomella sp.*, *Triloculina tricarinata*, *T. trigonula*, *Eovigerina khuzestanica*, *Spiroloculina sp.*, *S. depressa*, *Globigerina sp.*, *polymorphidina sp.*, *Globigerina sp.*, *Globanomalina sp.*, *Textularia sp.*, *Heterostegina sp.*, *Pseudolituonella reicheli*, *Uvigerina iranica*, *Dendritina rangi*, *Praerhynchidionina delicata*, *Quinqueloculina sp.*, *Planorbulina sp.*, and *Tubucellaria sp.*

این زون انباشتی مطابق با زون ۵۶ (وايند، ۱۹۶۵)، زون انباشتی ۳ (آدامز بورژوا، ۱۹۶۷) (*Eulepidina - Nephrolepidina - Assemblage Zone*), *Eulepidina-Nephrolepidina- SB 22* و زون زیستی ۲۲ (*Nummulites vascus*, *Kaizuka* و پوئیگنات، ۱۹۹۷) می‌باشد. سن این زون زیستی بر پایه (لارسن و همکاران، ۲۰۰۹) روپلین - شاتین می‌باشد.

انباشت فونی ۳

Archaias hensonii, *Archaias asmaricus*, *Miogypsinoides complanatus*, *Spiroclypeus blanckenhorni* Assemblage zone. این زون زیستی در چاه A ۲۹/۵ متر، از اعماق ۳۴۴۲ - ۳۴۱۲/۵ متری (آخرین بُرش مورد مطالعه) و در چاه B ۲۹۹۵ - ۳۰۴۳ متری (آخرین بُرش مورد مطالعه) قرار دارد. شروع این زون زیستی بر پایه ظهرور همزمان دو گونه *Spiroclypeus blanckenhorni*, *Miogypsinoides complanatus* می‌باشد و حضور جنس *Archaias sp.* (در آخرین بُرش مطالعه شده در چاه A) در انتهای این زون زیستی تایید کننده سن شاتین می‌باشد. گسترش سنی این زون زیستی مربوط به شاتین می‌باشد. مجموعه فسیل‌های همراه در این بایوزون عبارت‌اند از:

Spiroclypeos sp., *S. Blanckenhorni*, *complanatus*, *M. deharti*, *M. Miogypsinoides ubaghsii*, *Astrotrillina sp.*, *A. howchini*, *A. asmaricus*, *Praerhynchidionina delicata*, *Kaphus*

زون‌های زیستی شناسایی شده در چاه‌های مورد

بررسی:

انباشت فونی ۱

Globigerina spp - *Hantkenina* - *Turborotalia cerroazulensis* Assemblage zone

این زون زیستی در چاه A ۹۳ متر از اعماق ۳۶۸۸ تا ۳۵۹۵ متری و در چاه B ۵۹ متر از اعماق ۳۲۰۸/۵ تا ۳۲۶۷/۵ متری قرار دارد. در این زون زیستی *Globigerina spp* فراوان و غالب می‌شود و انقراض *Turborotalia cerroazulensis* صورت می‌گیرد. این زون انباشتی مربوط به بخش فوقانی سازند پابده می‌باشد.

مجموعه فسیل‌های همراه این زون عبارت‌اند از:

Globigerina sp., *G. mexicana*, *G. ciperoensis*, *Catapsydrax dissimilis*, *Orbulinoides sp.*, *Hantkenina sp.*, *Globanomalina sp.*, *Dentoglobigerina yeguaensis*, *Striate uvigerinid*, *Pseudohastigerina micra*, *Zeaglobigerina ampliapertura*, *Subtina sp.*, *Uvigerina iranica*, *Turborotalia sp.*, *T. boweri*, *Eovigerina sp.*, *Globigrinateka sp.*, *Heterolepa sp.*, *Pseudolituonella sp.*, *Elphidium sp.*, *Haplophragmium sp.*, *Bigenerina sp.*, *Lenticulina sp.*, and *Eulepidina sp.*

سن این زون زیستی اوسن پسین - الیگوسن پیشین (روپلین) و مربوط به بخش بالایی سازند پابده می‌باشد.

این زون انباشتی همارز با زون ۴ (Globigerina spp) از زون‌بندی (آدامز بورژوا، ۱۹۶۷) و زون ۵۵ (Globigerina spp) از زون‌بندی (وايند، ۱۹۶۵) می‌باشد. سن این زون زیستی بر پایه (وايند، ۱۹۶۵) الیگوسن - میوسن، بر پایه (آدامز بورژوا، ۱۹۶۷)، اوسن بالایی - الیگوسن و میوسن زیرین می‌باشد. بر پایه مطالعات (لارسن و همکاران، ۲۰۰۹) و ون‌بوخم و همکاران، ۲۰۱۰) نیز سن این زون زیستی مربوط به اوسن پسین (بخاط حضور جنس *Hantkenina*) می‌باشد.

انباشت فونی ۲

Lepidocyclina - *Operculina* - *Ditrupa* Assemblage zone

این زون زیستی در چاه A ۱۵۳ متر، (از اعماق ۳۵۹۵ تا ۳۴۴۲ متری) و در چاه B ۱۶۵/۵ متر، (از اعماق ۳۰۴۳ تا ۳۲۰۸/۵ متری) قرار دارد. شروع آن با ظهرور *Lepidocyclina sp* و انتهای این بایوزون با ظهرور *Miogypsinoides* و *Spiroclypeus blanckenhorni complanatus* مشخص می‌شود. (در این مطالعه با

چاه A در محدوده مورد مطالعه (بخش بالای سازند پابده و بخش زیرین سازند آسماری)، ۲۷۵/۵ متر استرا داشته که ۹۳ متر مربوط به بخش بالای سازند پابده و ۱۸۲/۵ متر مربوط به بخش زیرین سازند آسماری می‌باشد (شکل ۴). ستبرای چاه B در محدوده مورد مطالعه (بخش بالای سازند پابده و بخش زیرین سازند آسماری)، ۱۷۲/۵ متر بوده که ۵۹ متر مربوط به بخش بالای سازند پابده و ۲۱۳/۵ متر مربوط به بخش زیرین سازند آسماری می‌باشد. مرز دو سازند در دو چاه مورد مطالعه بصورت پیوسته و تدریجی می‌باشد (شکل ۴).

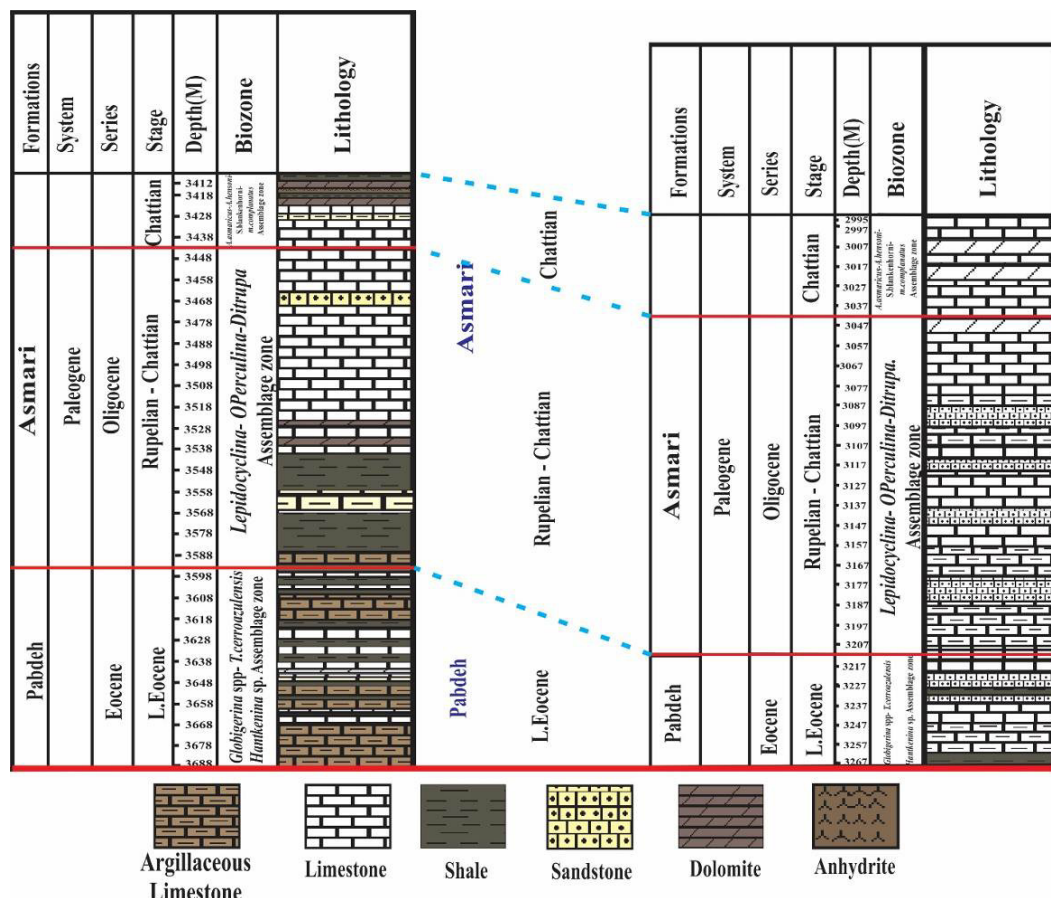
مقایسه زون‌های زیستی در چاه‌های A و B

زون زیستی ۱: (*Globigerina spp - Turborotalia cerroazulensis - Hantkenina Assemblage Zone*) در هر دو چاه مورد مطالعه شناسایی و به سن ائوسن پسین و مربوط به بخش بالای سازند پابده می‌باشد. ستبرای این زون زیستی در چاه A ۹۳ متر و در چاه B ۵۹ متر می‌باشد (شکل ۴).

sp., Pyrgo sp., Quinqueloculina sp., Rotalia viennotti, Lepidocyclus sp., Bigenerina sp., Nephrolepidina marginata, N. tourneoueri, Heterostegina sp., Asterigerina sp., Archaias sp., Elphidium sp., Elphidium spI, Planorbulina sp., Sphaerogypsina globulus, Amphistegina lessonii, Polymorphidium sp., Eulepidina dilitata, Schlumbergerina sp., Amonia sp., Spiriluculina sp. این زون ابشاری هم‌ارز بایوزون (۵۸ (وايند، ۱۹۶۵)، *Archaias operculiniformis zone*) زیر زون (*Archaias asmaricus*) 2B (*Archaias hensonii sub zone Miogypsinoides- SB 23* (۱۹۶۷)، زون زیستی (*Eulepidina*) کائوزاک پوئینگات، (۱۹۹۷) و زون ابشاری *Archaias asmaricus- Archaias hensonii - Miogypsinoides compalanatus Assemblage zone* (لارسن و همکاران، ۲۰۰۹) می‌باشد.

همبستگی چاه‌های مورد بررسی

این مقایسه با هدف تطابق زیستی (ستبرای زون‌های زیستی، بررسی زون‌های زیستی و گسترش سنی آن‌ها) در چاه‌های A و B انجام شده و به شرح زیر می‌باشد:



شکل ۴. همبستگی زیست‌چینه‌نگاری چاه‌های A و B (سمت چپ ستون چینه‌شناسی چاه A و سمت راست ستون چینه‌شناسی چاه B)

تفسیر: ویژگی باز این ریزرساره حضور فرامینیفرهای پلانکتون، زمینه میکرایتی و نبود فرامینیفرهای بزرگ بنتیک و جلبک قرمز می‌باشد. حضور فرامینیفرهای پلانکتون با زمینه میکرایتی، بافت ریزدانه و نبود ساختهای رسوبی نشان‌دهنده شرایط ژرف، آرام و شوری نرمال دریاچی می‌باشد (باکستون و پدلی، ۱۹۸۹؛ کاسویک و همکاران، ۲۰۰۴؛ فلوگل، ۲۰۰۰). حضور روزن‌داران پلانکتون بدون جلبک قرمز و فرامینیفرهای بزرگ همیست حد زیرین ناحیه نوری را نشان می‌دهد (کاسویک و همکاران، ۲۰۰۴) از طرفی حضور و فراوانی فرامینیفرهای پلانکتون وجود شرایط عمیق دریاچی (ژرفای بیشتر از ۲۰۰ متر) را نشان می‌دهد (گیل، ۲۰۰۰). فراوانی گونه‌های پلانکتون نشان‌دهنده شرایط عمیق و یا حادفل کاهش تولید موجودات کفزی را پیشنهاد می‌کند (پومار و همکاران، ۲۰۰۴). فراوانی گل آهکی در این ریزرساره نشان‌دهنده انرژی هیدرودینامیکی پایین و محیطی کم انرژی می‌باشد. از طرفی انرژی کم محیطی به رسوب‌گذاری زیر سطح پایه امواج طوفانی (SWB) اشاره می‌کند (کاسویک و همکاران، ۲۰۰۴). این ریزرساره هم‌ارز *SMF3* از کمرنند رخساره‌ای شماره ۱ (ویلسون، ۱۹۷۵)، رخساره شماره ۸ (باکستون و پدلی، ۱۹۸۹) و *RMf5* (فلوگل، ۲۰۱۰) می‌باشد. محیط تشکیل این ریزرساره بخش ژرف حوضه می‌باشد و در هر دو چاه مورد مطالعه شناسایی شده است و متعلق به بخش بالایی سازند پابده به سن ائوسن پسین می‌باشد.

MF2(B): وکستون بیوکلستی دارای فرامینیفرهای پلانکتونی

اجزای اصلی این ریزرساره را فرامینیفرهای پلانکتونی *Globigerina, Orbulinid, Turborotalia* تشکیل مانند *Ambonychia*. اجزای فرعی این ریزرساره متشکل از سایر فرامینیفرهای پلانکتونی و بنتیک کوچک مانند *Lenticulina, Textularia, Eouvigerina* می‌باشد. بافت سنگ وکستون و زمینه آن بصورت میکرایتی می‌باشد. این ریزرساره در مرز دو سازند پابده و آسماری قرار دارد (شکل ۵).

تفسیر: این ریزرساره به لحاظ فونای زیستی مشابه *MFI* می‌باشد با این تفاوت که بافت سنگ وکستون و

(*Lepidocyclina- Operculina- Ditrupa Assemblage Zone*) در هر دو چاه مورد مطالعه شناسایی و به سن روپلین - شاتین بوده و مربوط به قاعده سازند آسماری می‌باشد. ستبرای این زون زیستی در چاه A ۱۵۳ متر و در چاه B ۱۶۵ متر می‌باشد (شکل ۴).

(*Archaias asmaricus - Archaias hensonii - Miogypsinoides complanatus Assemblage Zone*) در هر دو چاه مورد مطالعه شناسایی و به سن شاتین بوده و مربوط به بخش زیرین سازند آسماری می‌باشد. ستبرای این زون زیستی در چاه A ۲۹/۵ متر و در چاه B ۴۸ متر می‌باشد (شکل ۴). پس از مقایسه دو چاه A و B مشخص شد که مرز دو سازند پابده و آسماری در هر دو چاه به صورت تدریجی و پیوسته می‌باشد و از طرفی، سن بخش بالایی سازند پابده ائوسن پسین (بخاطر حضور گونه *Hantkenina sp*) و زون *Globigerina spp - Turborotalia cerroazulensis - Hantkenina* بوده و شروع سازند آسماری در هر دو چاه با زون زیستی شماره ۳ لارسن *Lepidocyclina- Operculina - Ditrupa Assemblage Zone* به سن روپلین - شاتین می‌باشد (شکل ۴).

ریزرساره‌ها و محیط‌های رسوبی

در این مطالعه پس از بررسی ویژگی‌هایی همچون بافت رسوبی، عناصر و آلومینیم‌های اسکلتی و غیراسکلتی شماره ۸ ریزرساره از چاه A و ۶ ریزرساره از چاه B متعلق به محیط‌های رمپ بیرونی، رمپ میانی (بخش‌های دیستال و بخش پروکسیمال)، شول و رمپ درونی (ریف کومه‌ای و لاغون باز) به شرح زیر شناسایی گردید (شکل‌های ۵ و ۶).

ریزرساره‌های شناسایی شده در چاههای مورد مطالعه

الف: ریزرساره‌های حوضه و رمپ بیرونی
MFI(A): مادستون دارای فرامینیفرهای پلانکتونی
 این ریزرساره بطور کلی از فرامینیفرهای پلانکتونی مانند *Globigerina* تشکیل شده است. بافت سنگ مادستون و زمینه آن میکرایتی می‌باشد (شکل ۵).

تهنیست این ریزرساره در پایین ناحیه زون سوری می‌باشد (کوردا و براندانو، ۲۰۰۳). سالم ماندن و حفظشده خوب آن‌ها مبین یک محیط دریای باز با انرژی متوسط تا کم و قرار گرفتن در زیر سطح امواج عادی است، همچنین لپیدوسیکلینیدهای بزرگ و مسطح و نومولیتیدهای شاهدی بر رسوب‌گذاری در ناحیه الیگوفوتیک است (باسی و همکاران، ۲۰۰۷). فراوانی موجودات با شوری نرمال دریایی مانند فرامینیفرهای (*Heterostegina Eulepidina*) بزرگ هیالین منفذدار حاکی از تشکیل این ریزرساره در بخش‌های ژرف رمپ میانی، بین قاعده تاثیر امواج طوفانی و قاعده امواج عادی می‌باشد (رومرو و همکاران، ۲۰۰۰). با توجه به حضور فرامینیفرهای کفزی بزرگ با دیواره هیالین و همزیستدار در این ریزرساره موید رسوب‌گذاری در بخش *Distal* رمپ میانی می‌باشد (کاسویک و همکاران، ۲۰۰۴). این ریزرساره هم‌ارز رخساره شماره ۷ (باکستون و پدلی، ۱۹۸۹)، ریزرساره استاندارد ۴ (ویلسون، ۱۹۷۵) و *RMF9* (فلوگل، ۲۰۱۰) می‌باشد. این ریزرساره در هر دو چاه شناسایی شده است.

MF4(D): پکستون با یوکلستی دارای فرامینیفرهای هیالین عدسی، لنزی شکل و جلبک قرمز
جزی اصلی این ریزرساره *Heterostegina* و *Rotalia viennotii* و جلبک قرمز کورالیناسه آتشکیل *Lepidocyclina*, *Miogypsinoides* و *Amphistegina*, *Textularia* می‌دهد. جزی افرعی این ریزرساره را *Eulepidina* تشکیل می‌دهند. بافت سنگ پکستون و زمینه آن میکراتی می‌باشد.

تفسیو: حضور فراوان جلبک قرمز به همراه فرامینیفرهای هیالین با زمینه گلی (میکراتی) محیط رمپ میانی را پیشنهاد می‌کند. انواع عدسی شکل لپیدوسیکلین‌ها با دیواره‌ی ضخیم در آبهای کم عمق با شوری و شدت نور بالا زیست می‌کنند (گیل، ۲۰۰۰). حضور جلبک قرمز کورالیناسه آبا روتالیا و همچنین عدم وجود فسیلهای شاخص محیط لاغون، نشان از رسوب‌گذاری این ریزرساره در محیط کم عمق دریایی باز به سمت سد می‌باشد (پومار، ۲۰۰۱). حضور فرامینیفرهای عدسی و لنزی شکل با دیواره ضخیم نشان دهنده افزایش انرژی، نور و مربوط به بخش *Proximal*

تنوع فرامینیفرهای پلانکتون بیشتر بوده و دارای قطعات بیوکلستی می‌باشد. این ریزرساره بر پایه جایگاه چینه‌شناسی در بخش انتهایی سازند پابده و مرز تدریجی پابده - آسماری قرار دارد و با توجه اینکه در ژرفای کمتری نسبت به ریزرساره قبلی قرار دارد مربوط به انتهای حوضه و قسمت ابتدایی رمپ بیرونی و پایین‌تر از قاعده امواج طوفانی (SWB) قرار دارد. این ریزرساره هم‌ارز *SMF3* از کمریند رخساره‌ای شماره ۱ (ویلسون، ۱۹۷۵)، رخساره شماره ۸ (باکستون و پدلی، ۱۹۸۹) و *RMF5* (فلوگل، ۲۰۱۰) می‌باشد. این ریزرساره در هر دو چاه مورد مطالعه دیده شده است.

ب: ریزرساره‌های رمپ میانی (بخش دیستال و پروکسیمال)

MF3(C): وکستون - پکستون (فلوتستون) دارای فرامینیفرهای هیالین بزرگ با پوسته کشیده و نازک (نومولیتیده و لپیدوسیکلینیده):

اجزای اصلی این ریزرساره را فرامینیفرهای با پوسته *Operculina*, *Eulepidina* و *Nephrolepidina* تشکیل داده و اجزای فرعی آن شامل *Textularia* و *Nephrolepidina* و جلبک قرمز (لیتوفیلوم) می‌باشد. زمینه این ریزرساره میکراتی و بافت سنگ وکستون است همچنین با توجه بزرگ بودن اندازه فسیلهای (بزرگ‌تر از دو میلی‌متر) بر پایه طبقه‌بندی (امبری و کلیوان، ۱۹۷۱) بافت سنگ فلوتسن است (شکل ۵). این ریزرساره مربوط به بخش زیرین سازند آسماری می‌باشد.

تفسیر: حضور لپیدوسیکلینیده (*Eulepidina*), *Nephrolepidina* و نومولیتیدهای بزرگ و کشیده با دیواره نازک (*Heterostegina*, *Operculina*) و حفظ شدگی خوب در یک زمینه میکراتی نشانه شرایط دریایی با شوری نرمال و انرژی کم تا متوسط است (فلوگل، ۲۰۱۰) و (وزیری‌قدم و همکاران، ۲۰۱۰-۲۰۰۶). همچنین وجود لپیدوسیکلین‌ها و نومولیتیدهای شکل پهنه نشان‌دهنده رسوب‌گذاری این ریزرساره در زون نوری الیگوفوتیک رمپ میانی می‌باشد (هوتینگر، ۱۹۸۰؛ ۱۹۸۳؛ ۱۹۹۶؛ ۱۹۹۹؛ هوهینگر، ۱۹۸۰؛ هالوک، ۱۹۹۹؛ نیلسک، ۲۰۰۵؛ باسی و همکاران، ۲۰۰۷؛ براندانو و همکاران، ۲۰۰۹). حضور لپیدوسیکلین‌های کشیده حاکی از

.*Carbonat sand Shoals and Banks* (فلوگل، ۲۰۱۰) رخساره شماره ۳ و کمریند ۶ (باکستون و پدلی، ۱۹۸۹) میکروفاسیس شماره ۱۱ (ویلسون، ۱۹۷۵) رخساره سدی یا (*Barrier-beach*) می‌باشد. این ریزرخساره در چاه A شناسایی شده است.

د: ریزرخساره‌های محیط رمپ درونی (ریف کومه‌ای و لاغون باز)

MF6(F): باندستون جلبکی

اجزای اصلی این رخساره را جلبک قرمز تشکیل داده است. بافت این ریزرخساره میکرایت و اجزای آن به هم چسبیده (اتصال ارگانیکی) است.

تفسیر: برخی از جلبک‌های غیر بند که دارای پوسته قلابی هستند نشان‌دهنده سازگاری الگوی رشد آن‌ها با چمن‌زارها و مراتع دریایی می‌باشد (بیوینگتون و پنی، ۲۰۰۴). جایگاه چینه‌شناسی و عدم گسترش جانبی این ریزرخساره نشانگر تنهنشست آن در محیط ریف کومه‌ای (لاگون رو به سد) در بالای سطح پایه امواج می‌باشد. این ریزرخساره هم‌ارز کمریند رخساره‌ای شماره ۵ و میکروفاسیس استاندارد شماره ۷ (ویلسون، ۱۹۷۵) (باکستون و پدلی، ۱۹۸۹) می‌باشد. این ریزرخساره فقط در چاه A مشاهده شده است.

MF7(G): کورال باندستون

این ریزرخساره بطور کامل از مرجان‌های چارچوب‌ساز تشکیل شده و زمینه آن بوسیله سیمان اسپارایتی پر شده است. ویژگی باز این ریزرخساره بافت متصل مرجانی و عدم همراهی هیچ نوع بیوتایی می‌باشد.

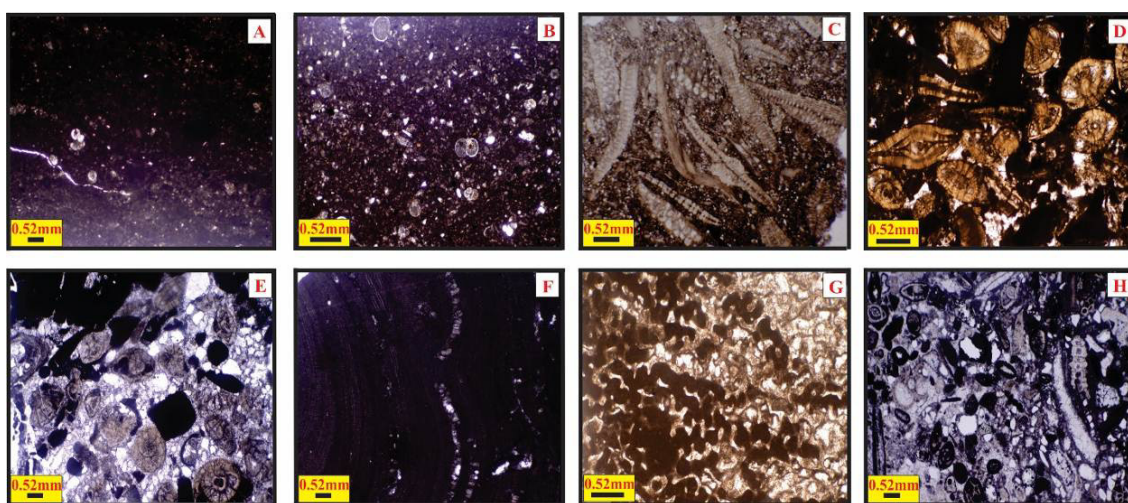
تفسیر: با توجه به اینکه این ریزرخساره گسترش کمی داشته متعلق به ریف‌های کومه‌ای می‌باشد. محل تشکیل این نوع ریف‌ها پشت سد و داخل لاغون می‌باشد (فلوگل، ۱۹۸۲). این نوع ریف‌ها بوسیله موجودات درجا (بیوه‌رم) در حاشیه پلاتفرم در بالای سطح امواج عادی تشکیل می‌شود (ویلسون، ۱۹۷۵). این ریزرخساره هم‌ارز *RMF 12 - 15* (فلوگل، ۲۰۰۴) و کمریند رخساره‌ای شماره ۶ یا ۲ (باکستون و پدلی، ۱۹۸۹) و به محیط لاغون رو به سد نسبت داده می‌شود. این ریزرخساره در هر دو چاه شناسایی شده است.

رمپ میانی و پهنۀ نوری مزووفوتیک می‌باشد (باسی و همکاران، ۲۰۰۷). این پهنۀ نوری به عنوان زون بینایین در بین زون بوفوتیک و زون الیگوفوتیک قرار می‌گیرد. محدوده مورد نظر را می‌توان معادل با بخش‌های پایینی زون نوردار بالایی (۴۰ - ۸۰ متری) (باسی و همکاران، ۲۰۰۷) که با حضور اشکال متورم و لنزی شکل هیالین که امکان حضور فرامینیفرهای پورسلانوز نیز در آن وجود دارد در نظر گرفت. محیط تشکیل این ریزرخساره مربوط به رمپ میانی و هم‌ارز ۹ *RMF* (فلوگل، ۲۰۱۰) و *SMF4* (ویلسون، ۱۹۷۵) می‌باشد. این ریزرخساره در هر دو چاه شناسایی شده است.

ج: ریزرخساره‌های محیط شول (*Sand shoal*)

MF5(E): گرینستون دارای فرامینیفرهای هیالین اجزای اصلی این ریزرخساره را فرامینیفرهای هیالین با دیواره ضخیم، عدسی و لنزی شکل و پوسته هیالین مانند *Amphistegina*, *Heterostegina*, *Rotalia viennotti* تشکیل می‌دهد. اجزای فرعی این ریزرخساره را جلبک قرمز کورالیناسه تشکیل می‌دهد. بافت سنگ گرینستون و زمینه آن از سیمان اسپارایتی تشکیل شده است.

تفسیر: اجزای علفزارهای دریایی مانند *Amphistegina* ضخیم، *Rotalia viennotti* و میلیولیدهای کوچک در آبهای کم عمق قرار دارند (پومار و همکاران، ۲۰۱۴) روتالیدها (بصورت منفذدار و همزیست)، فرم‌های دارای تزیئنات زیاد در آبهای خیلی کم عمق، آبهای آشفته (۰ - ۴۰ متری) در منطقه ساحلی بر روی ماسه‌های کربناته، بر روی ریف و همچنین در مناطق بین ریف زیست می‌کنند (گیل، ۲۰۰۰). با توجه به تشریح استاندارد رخساره‌ها توسط (فلوگل، ۲۰۱۰ و ویلسون، ۱۹۷۵) این ریزرخساره در محیط کم عمق (*Shoal*) یا سند شول در بالاتر از قاعده امواج عادی در حاشیه پلاتفرم قرار دارد و با توجه به اینکه بافت این ریزرخساره گرینستون، فاقد گل و یا گل کمی دارا می‌باشد معادل با سد بایوکلستی با انرژی بالا می‌باشد. وجود فرامینیفرهای عدسی و لنزی شکل با دیواره ضخیم و نبود فرامینیفرهای بزرگ و کشیده موید زیستن در محیطی پر انرژی و نور بیش‌تر می‌باشد. این ریزرخساره مزبین محیط‌های رمپ میانی و رمپ درونی می‌باشد و هم‌ارز با *RMF 26 - 27*



شکل ۵. *MFA*: مادستون دارای فرامینیفرهای پلانکتون. *MFB*: پکستون بیوکلستی دارای فرامینیفرهای هیالین کشیده (نومولیتیده و لپیدوسیکلینیده). *MFD*: پکستون با بیوکلستی دارای فرامینیفرهای هیالین عدسی شکل و جلبک قرمز. *MFE*: گرینستون دارای فرامینیفرهای هیالین. *MFF*: کورال باندستون جلبکی. *MFG*: پکستون - گرینستون دارای فرامینیفرهای هیالین و پورسلانوز.

نور بالایی که میزان شوری در آن اندکی بالا می‌باشد نسبت داده می‌شود (رومرو و همکاران، ۲۰۱۰؛ وزیری مقدم و همکاران، ۲۰۰۶ و زمانگی و همکاران، ۲۰۰۸). در این ریزخساره وجود *Rotalia* شاخص یک محیط کم عمق و پرانرژی و حضور *Miogypsinoides* بیانگر شوری نرمال، عمق کمتر از ۵۰ متر آب می‌باشد (گیل، ۲۰۰۰). این ریزخساره بالاتر از قاعده سطح پایه امواج عادی بوده و متعلق به لagon باز و همارز کمربند رخساره شماره ۴ (باکستون و پدلی، ۱۹۸۹) کمربند رخساره شماره ۷ (ویلسون، ۱۹۷۵) و رخساره پلاتفرم دریایی باز (*Open marine platform facies or Shallow undothem* فلوگل ۱۳ *RMF*) (فلوگل، ۲۰۱۰) می‌باشد. این ریزخساره در هر دو چاه شناسایی شده است.

محیط‌های رسوبی و مدل رسوب‌گذاری
پهنه رسوب‌گذاری و پراکنده‌گی رخساره‌ها در پلت‌فرم کربناته به طور کلی توسط شرایط تکتونیکی و تغییرات طولانی مدت سطح جهانی آب (*Eustatic*) کنترل می‌شود (پومار و همکاران، ۲۰۰۱ و برندانو و همکاران، ۲۰۰۹). در چاه‌های A و B برپایه مطالعات میکروسکوپی (شناسایی آلوکمها، تاکسون‌ها، بافت رسوبی بُرش‌های نازک) و تغییرات عمودی ریزخساره‌ها، شمار ۸ ریزخساره در چاه A و ۶ ریزخساره در چاه B معرفی گردید (شکل‌های ۵ تا ۹). محیط‌های رسوبی شناسایی شده به شرح زیر می‌باشد:

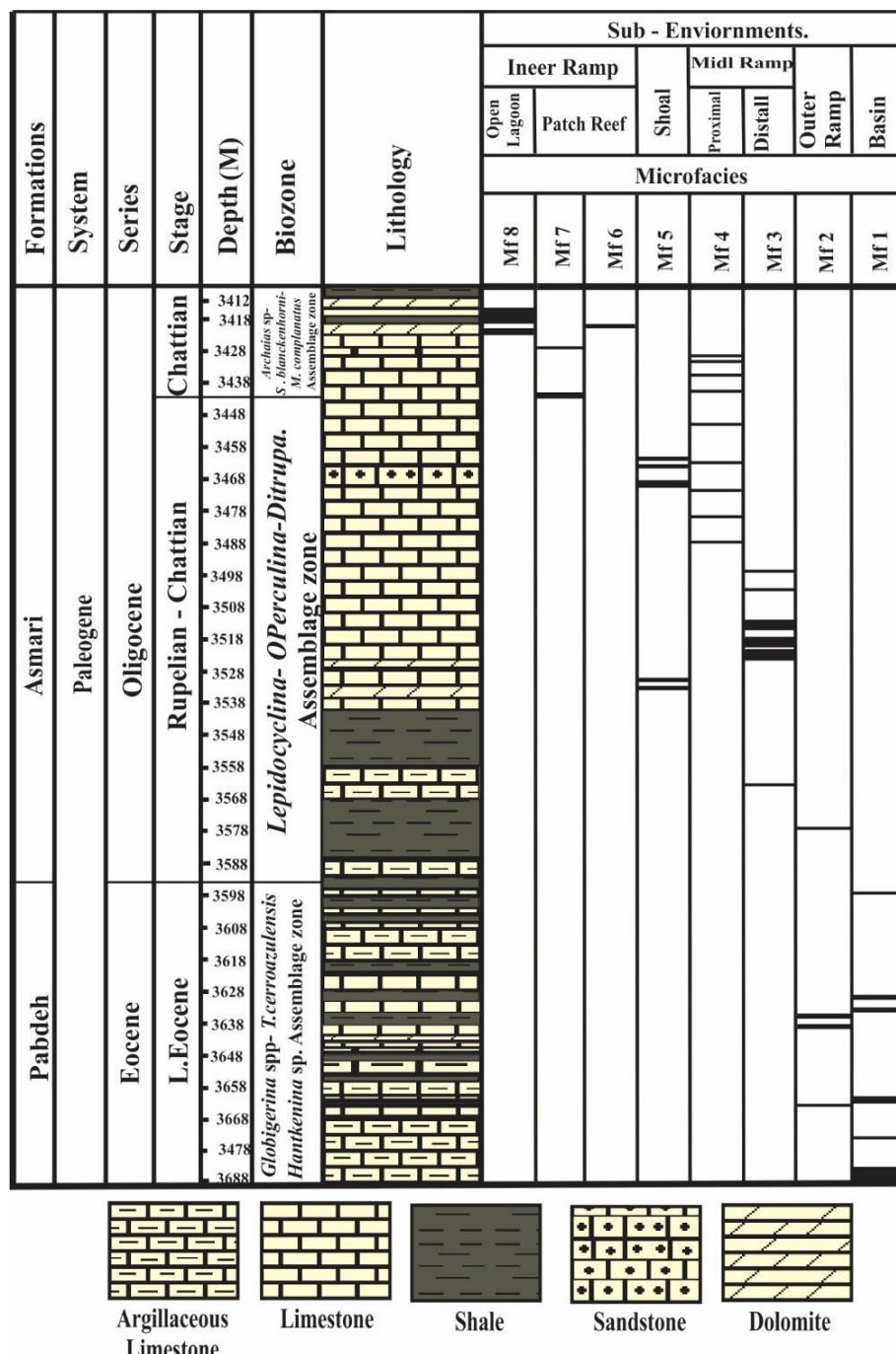
MF8(H): پکستون - گرینستون دارای فرامینیفرهای هیالین و پورسلانوز

این ریزخساره متشکل از فرامینیفرهای با پوسته هیالین و پورسلانوز می‌باشد. فرامینیفرهای تشکیل‌دهنده با *Pyrgo* دیواره پورسلانوز این رخساره را *Miliolid*, *Astrotrillina*, *Quinqueloculina* تشکیل می‌دهند و فرامینیفرهای با پوسته هیالین را *Rotalia viennotti* تشکیل می‌دهد. اجزای فرعی این ریزخساره را، جلبک قرمز *Korallinasea*، اکینوئید، گاسترپوپود، بریوزوا و قطعات خرد شده دوکه‌ای تشکیل می‌دهد. بافت این ریزخساره پکستون تا گرینستون و زمینه آن میکرایتی تا اسپاریتی می‌باشد. تفسیر: ویژگی بارز این ریزخساره حضور همزمان فرامینیفرهای پورسلانوز و هیالین می‌باشد که خود دلیلی بر شرایط محیطی مناسب برای زیست این دو گروه از فرامینیفرها (پورسلانوز و هیالین) در کنار هم می‌باشد. فرامینیفرهای با دیواره هیالین آبهایی با شوری نرمال دریایی و فرامینیفرهای با دیواره پورسلانوز آبهایی کم عمق لagonی و شوری‌های بالاتر را برای زیست انتخاب می‌کنند (گیل، ۲۰۰۰؛ رومرو و همکاران، ۲۰۰۲؛ وزیری مقدم و همکاران، ۲۰۰۶). حضور توام فرامینیفرهای منفذدار و بدون منفذ حاکی از رسوب‌گذاری در لagon باز با چرخش آب آزاد و اکسیژن دار در زون یوفوتیک می‌باشد (رومرو و همکاران، ۲۰۰۲). همچنین به یک زون

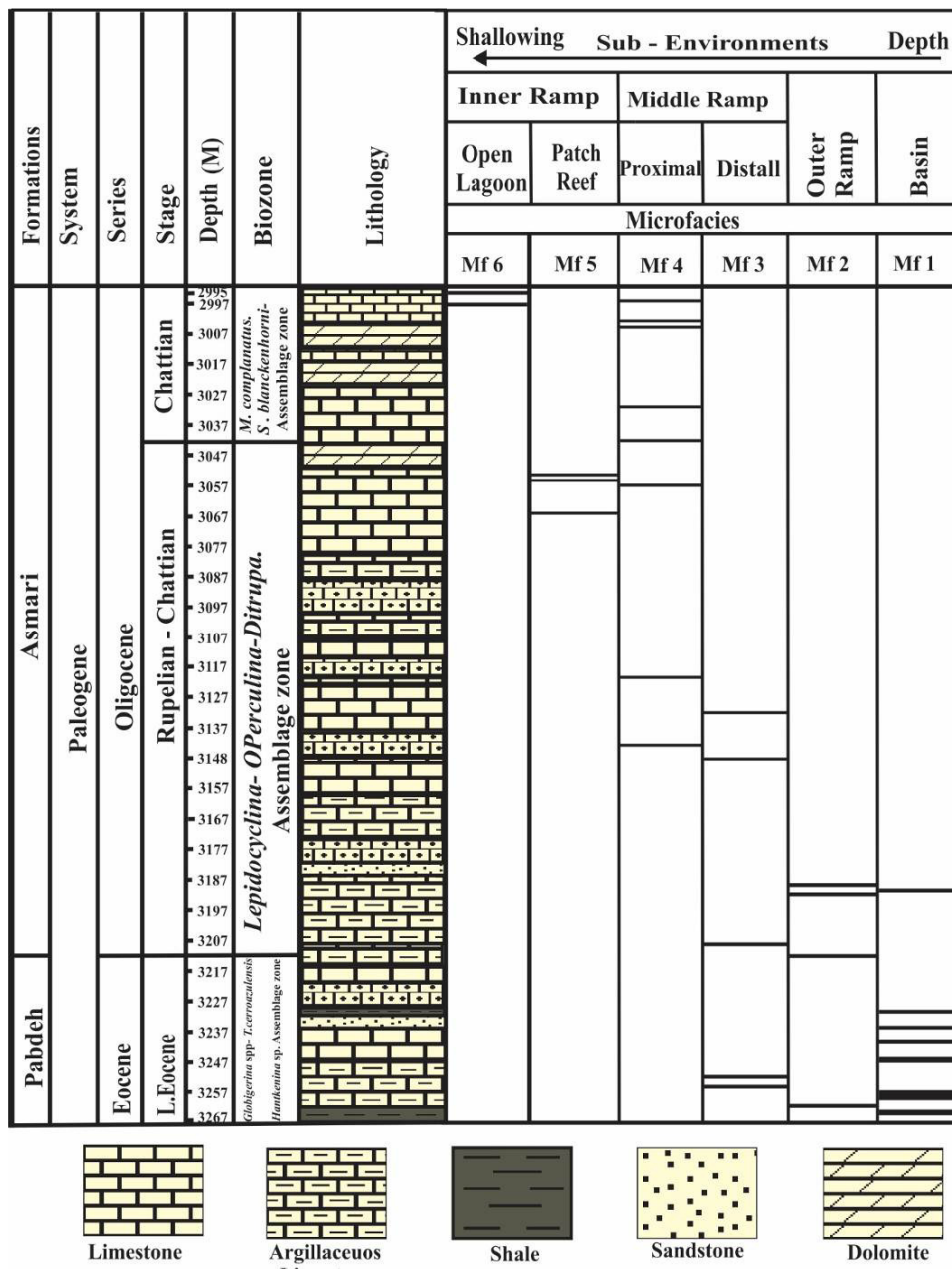
موجوداتی که می‌توانند در این محیط زیست کنند، اسفتحا، بریوزرهای، برکیوپودهای دوکفهای و فرامینیفرهای پلانکتونی می‌باشد. در چاههای مورد مطالعه *MF1, MF2* در این محیط نهشته شده است (شکل‌های ۵ تا ۹).

محیط رمپ بیرونی Outer Ramp

Fonai زیستی این محیط با فراوانی فرامینیفرهای پلانکتون و ژرفای بیشتر از ۲۰۰ متر مشخص می‌شود. رمپ بیرونی در محدوده زیر قاعده امواج طوفانی قرار دارد و رخسارهای متداول در آن سنگ‌آهک دانه‌ریز به همراه میان لایه‌های مارنی و شبیلی می‌باشد. از جمله



شکل ۶. ستون چینه‌شناسی، گسترش ریز رخسارهای و محیط‌های رسوبی در چاه A



شکل ۷. ستون چینه‌شناسی، گسترش ریزرساره‌ها و محیط‌های رسوبی در چاه B

فرامینیفرهای بزرگ مناطق ژرف (اوپرکولینا و یولپیدینا) و نمونه‌های نئوروتالیا، تجمعات زیستی رمپ میانی در زون الیگوفوتیک نهشته شده‌اند (برندانو و همکاران، ۲۰۰۹). از دیگر فونانی موجود در این محیط می‌توان تکستولاریا، مرجان، بریوزوئر، کرم‌های حلقوی و فرامینیفرهای کفزی بزرگ بدون منفذ را نام برد. این محیط از نظر دمایی در بین محیط حاره تا نیمه حاره‌ای و در بین اعماق ۴۰ تا ۷۰ متری واقع شده است و از لحاظ عمق نفوذ نور بین زون الیگوفوتیک تا مزووفوتیک

محیط رمپ میانی Middle Ramp

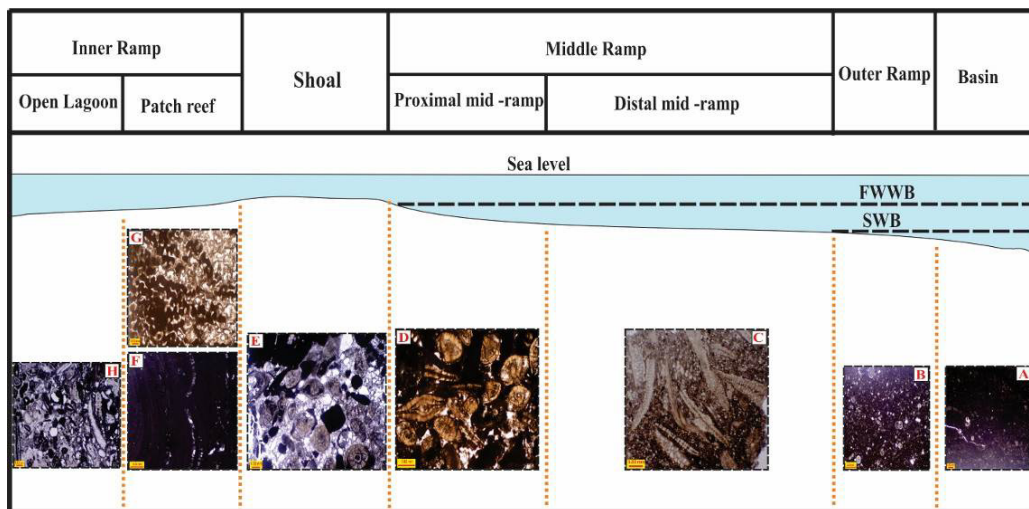
این محیط با فراوانی جلبک‌های قرمز کورالیناسه، فرامینیفرهای هیالین لاملا، فرامینیفرهای منفذدار، روتالیدهای منفذدار کوچک و سایر نمونه‌های روکش‌دار مشخص می‌شود. از جمله فرامینیفرهای شاخص این محیط، لپیدوسیکلین‌ها (یولپیدینا و نفوپلیدینا)، نومولیتیدها (هتروسترشینا و اپرکولینا)، آمفیسترشینا، روتالیدا و به مقدار کمتر فرامینیفرهای پلانکتون می‌باشد (برندانو و همکاران، ۲۰۰۹). بر پایه حضور و فراوانی

در چاههای مورد مطالعه $MfC(3)$ مربوط به بخش دیستال و $MfD(4)$ مربوط به بخش پروکسیمال می‌باشد (شکل‌های ۵ تا ۹).

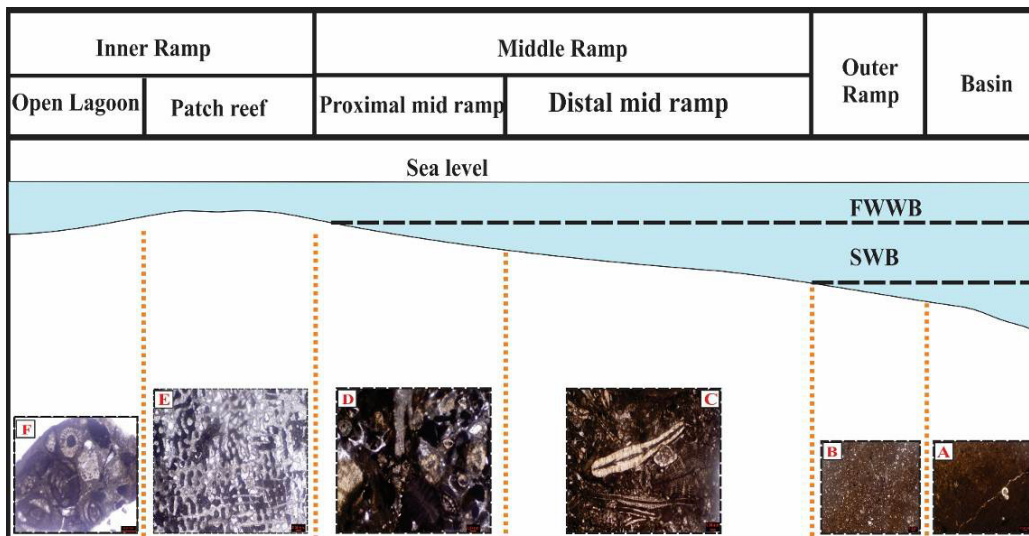
محیط شول ماسه‌ای

ریزخسارهای این محیط به لحاظ نوری در بالاترین زون نوری (یوفوتیک زون) و در بالاترین سطح انرژی (بالاتر از قاعده امواج عادی) قرار دارد. بافت سنگ (گرینستون) و زمینه اسپارایتی موید این محیط می‌باشد. در این مطالعه در چاه A ($MFE(5)$) در محیط کربنات سند شول نهشته شده و جدا کننده محیط‌های رمپ میانی و رمپ داخلی می‌باشد (شکل‌های ۵ تا ۹).

قرار دارد (پومار، ۲۰۰۱). رمپ میانی در بین قاعده امواج طوفانی و عادی (بالاتر از قاعده امواج طوفانی و زیر قاعده امواج عادی) قرار دارد و خود به دو بخش عمیق (*Proxima*) و بخش کم عمق (*Distal*) تقسیم‌بندی می‌شود. طوری که در قسمت‌های عمیق دور از منشا (*Distal*) فرامینیفرهای بزرگ کفزی با دیواره نازک و مسطح مانند اپرکولینا، هتروسترشینا و یولپیدیناهای بزرگ و مسطح و قسمت کم عمق (*Proxima*) نزدیک به منشا با فراوانی فرامینیفرهای هیالین منفذار ضخیم، عدسی و لنزی شکل، اندازه‌ای کوچک‌تر و کشیدگی کمتر نسبت به بخش دیستال مانند (نفوپلپیدینا، روتالیا وینتوئی، هتروسترشینا، آمفیسترشینا و جلبک قرمز) مشخص می‌شود.



شکل ۸. مدل رسوبی چاه A



شکل ۹. مدل رسوبی چاه B

دریا، میزان Ca^{++} ، نوع پی لایه و نیز روندهای رسیست‌شناختی و تکاملی تشکیل می‌گردد (فلوگل، ۲۰۱۰). بر این پایه می‌توان از رخسارهای تشکیل شده به عنوان نمایه‌هایی از شرایط محیطی زمان تشکیل شان بهره‌گیری کرد (پومار و همکاران، ۲۰۰۴). برپایه فراوانی اجزای سازنده، نام‌های گوناگونی به آن داده می‌شود و برخی از آن‌ها شامل فورامول، رودآلگال، برومول، فورآلگال، کلروزون، کلروآلگال می‌باشد.

اجتماعات کربناته در چاههای مورد مطالعه به شرح زیر می‌باشد:

۱- اجتماع دانه‌ای نانوفر

این تجمع دانه‌ای مشکل از فرامینیفرهای پلانکتون (بیشتر از ۸۰ رصد)، نانوفسیلهای آهکی، سوزن‌های اسفنج، خارهای اکینوئید، بریوزوا و فرامینیفرهای پلانکتون می‌باشد و در آبهای ژرف دور از ساحل دیده می‌شود ولی در آبهای کم عمق و بصورت جزئی در محیط‌های بسته نیز دیده می‌شود (هایتون، ۱۹۹۵). در چاه مورد مطالعه مشکل از فرامینیفرهای پلانکتون که در انتهای سازند پابده و در مرز بین دو سازند آسماری و پابده قرار دارد تشکیل شده است. این تجمع در چاههای مورد مطالعه شامل، MFB و MFA بوده و مربوط به حوضه و رمپ بیرونی می‌باشد (شکل‌های ۱۰ و ۱۱).

۲- اجتماع دانه‌ای فورآلگال (ال بی فورآلگال)

اجزای اصلی این اجتماع کربناته مشکل از فرامینیفرهای بنتیک بزرگ به همراه جلبک قرمز و جلبک سبز می‌باشد (ویلسون و وکسی، ۲۰۰۵) و در چاههای مورد مطالعه شامل، لپیدوسیکلینا، اپرکولینا، اسپیروکلیپوس، هتروستزینا و بولپیدینا همراه با جلبک قرمز کورالینا سه آمی باشد. این اجتماع در چاههای مورد مطالعه شامل، MFD و MFC بوده و مربوط به قاعده سازند آسماری می‌باشد (شکل‌های ۱۰ و ۱۱).

۳- اجتماع دانه‌ای رودآلگال

اجزای اصلی این تجمع کربناته شامل جلبک‌های قرمز آهکی (بیشتر از ۸۰ درصد)، بریوزوا، روزن‌داران کفزی، بارناکل، دوکفهای و اکینوئید می‌باشد و در رسوبات سنوزوئیک گسترش دارد (کارانات، ۱۹۹۸). این اجتماع کربناته در آبهای گرم تا معتدل نواحی غیرحراره‌ای رایج

محیط رمپ درونی Inner ramp

رمپ درونی بالاتر از قاعده اثر امواج عادی و طوفانی قرار دارد و عمدها با فرامینیفرهای بدون منفذ پورسلانزو، جلبک‌های سبز آهکی، استراکود، گاستروپود، دوکفهای و اکینوئید مشخص می‌شود (گودرزی و همکاران، ۱۳۹۸). در این چاه رمپ داخلی خود به زیر محیط‌های، ریف کومهای و لاغون باز، تقسیم‌بندی شده است. در چاه A MfF و در چاه B MFG معرف زیر محیط ریف کومهای می‌باشد همچنین MfF در چاه A و MfF در چاه B معرف لاغون باز می‌باشد (شکل‌های ۵ تا ۹).

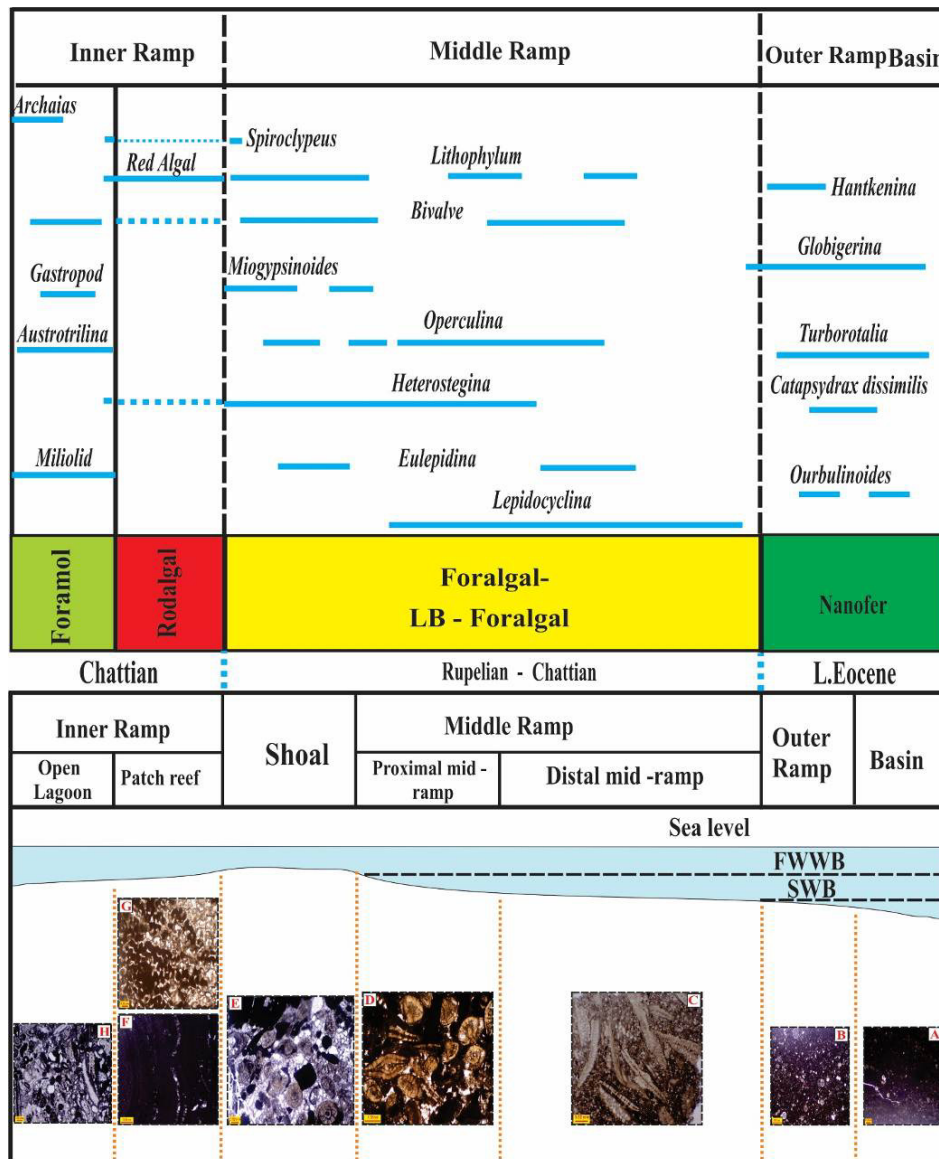
با توجه به اینکه این تحقیق در محدوده بخش بالایی سازند پابده و بخش زیرین آسماری در چاههای A و B انجام شده است بنابراین به طور دقیق نمی‌توان مدل رسوی واحدی برای آن‌ها ارائه داد. بر پایه مطالعات انجام شده در چاههای همچوار میدان نفتی مارون، این محدوده (بخش فوقانی سازند پابده و سازند آسماری) بطور کامل بررسی شده و محیط‌های رسوی آن‌ها شناسایی و مدل رسوی برای آن‌ها ارائه شده است (آرجانی و همکاران، ۱۳۹۰؛ گودرزی و همکاران، ۱۳۹۸). بنابراین با توجه به تبدیل تدریجی رخسارهای ریزشی و لغزشی و توربیدات، عدم وجود سد ریفی، نبود اثید با بافت گرینستونی، عدم وجود ساختارهای ریزشی و لغزشی و توربیدات، عدم وجود کورتوئید، آنکوئید، پیزوئید، دانه‌های آگرگات که خاص شلف کربناته می‌باشند و عدم وجود ریف گسترده بر جا بر روی یک رمپ کربناته با شبیه ملائم از نوع رمپ هموکلینال (*Homoclinal ramp*)؟ نهشته شده است (شکل‌های ۸ و ۹).

اجتماعات کربناته در چاههای مورد بررسی

تمرکز و همراهی دانه‌های کربناته اجزای اسکلتی و غیراسکلتی باعث تشکیل اجتماعات کربناته می‌شود، که با ورود مواد آواری به درون حوضه از تشکیل آن‌ها کاسته می‌گردد (فلوگل، ۲۰۱۰). بهره‌گیری از الگوی پراکندگی اجتماعات کربناته، سبب درک بالای ما از شرایط آب و هوایی و تغییر عرض‌های جغرافیایی در محیط‌های دیرینه می‌شود (فلوگل، ۲۰۱۰). فراوانی دانه‌های کربناته تحت تاثیر عوامل گوناگونی مانند دما، میزان مواد معدنی، انرژی هیدرودینامیکی آب، شفافیت، عمق بستر، شوری، میزان اکسیژن محلول، غلظت Mg/Ca ، نسبت CO_2/PH آب

کلروزوزن (جلبک‌های سبز و مرجان‌های ریفساز) می‌شود تشكیل می‌شود (ویلسون و وکسی، ۲۰۰۵). در چاه A MFF مربوط به رمپ درونی (ریف کومه‌ای) متعلق به این تجمع کربناته می‌باشد (شکل‌های ۱۰ و ۱۱).

است. همچنین در مرز تدریجی بین رسوبات نواحی معتمد - سرد و رسوبات نواحی حاره‌ای که عمدها کلروزوزن هستند به خوبی توسعه یافته است (ویلسون و وکسی، ۲۰۰۵). همچنین در نواحی مناطق حاره‌ای در جایی که شرایط محیطی مانع از گسترش رخساره‌های

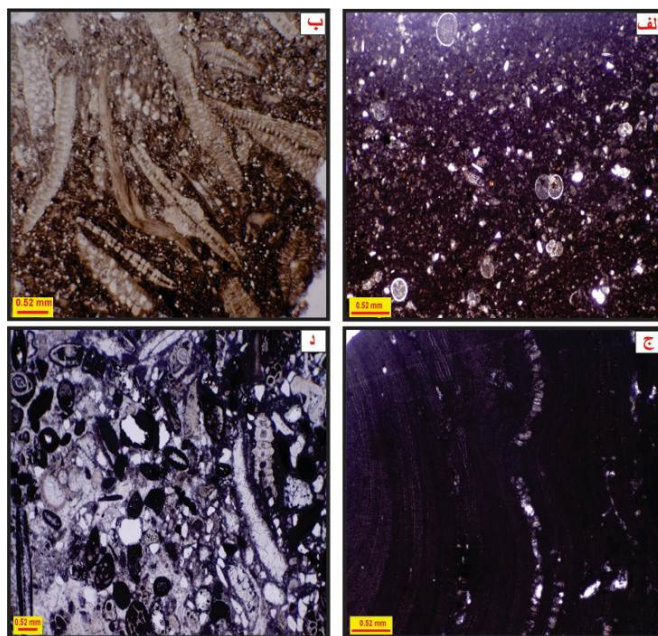


شکل ۱۰. اجتماعات کربناته بر روی مدل رسوبی

فرامینیفرهای پورسلانوز در MFH از چاه A و MFF از چاه B دیده شده است. این تجمع در محدوده شاتین و در محیط‌های رمپ درونی (لاگون باز) قرار دارد. در این تجمع فرامینیفرهای کفزی بدون منفذ مانند میلیولید، آستروتریلینا، دندرتیلینا، آرکیاس حضور دارند (شکل‌های ۱۰ و ۱۱).

۴- اجتماع دانه‌ای فورامول

تجمع دانه‌ای فورامول از فرامینیفرهای کفزی، دوکفه‌ای به همراه اجزای فرعی اکینوئید، بریوزه، استراکود و جلبک قرمز تشكیل شده و برای کربناتهای مناطق غیرحراره‌ای معروفی شده است (لیز و بولر، ۱۹۷۲). در چاههای مورد مطالعه ریز رخساره‌های مربوط به



شکل ۱۱. اجتماعات کربناته در چاههای مورد بررسی: الف، اجتماع کربناته نانوفر، ب، اجتماع کربناته فورآلگال، ج، اجتماع کربناته رودآلگال، د، اجتماع کربناته فورامول

-۳- بر پایه شناسایی آلوكمها و بررسی ریزرساره‌ها، شمار ۸ ریزرساره در چاه A و ۶ ریزرساره در چاه B وابسته به محیط‌های حوضه، رمپ بیرونی، رمپ میانی (بخش‌های دیستال و پروکسیمال)، شول و رمپ درونی (ریف کومهای و لاغون باز) شناسایی شدند.
-۴- بر پایه شناسایی آلوكمها و ریزرساره‌ها شمار ۴ اجتماع کربناته، نانوفر، فورآلگال، رودآلگال و فورامول شناسایی شد.

سپاسگزاری

در آغاز از شرکت ملی نفت مناطق نفت خیز جنوب برای ارائه طرح صنعتی، خدمات آزمایشگاهی و پشتیبانی مالی این پژوهش و هم‌چنین گروه زمین‌شناسی دانشگاه فردوسی مشهد در پشتیبانی از این پژوهش و فراهم کردن امکانات مربوطه سپاسگزاری می‌شود. از داوران بزرگوار که با پیشنهادهای ارزشمند خود موجب ارتقای کیفیت علمی مقاله شدند سپاس و قدردانی می‌شود.

نتیجه‌گیری

بر پایه بررسی نهشته‌های واقع در مرز دو سازند پابده و آسماری در چاههای A و B از میدان نفتی مارون یافته‌های زیر به دست آمد:

۱- ستبرای سازندها در چاه A ۲۷۵/۵ متر و در چاه B ۲۷۲/۵ متر و سنگ‌شناسی چیره در این چاهها عمدتاً سنگ‌آهک، سنگ‌آهک دولومیتی، ماسه‌سنگ و شیل هکی بوده و مرز میان دو سازند در چاههای مورد بررسی تدریجی و پیوسته بود.

۲- پس از بررسی برش‌های نازک میکروسکوپی شمار ۴۰ جنس و ۵۷ گونه در چاه A و ۴۲ جنس و ۶۰ گونه در چاه B از فرامینیفرهای پلانکتون و بنتیک شناسایی شد. بر پایه جنس و گونه‌های شناسایی شده و پخش و پراکندگی عمودی فرامینیفرها، سه بایوزون انباشتی به سن ائوسن پسین - شاتین شناسایی شد.

Globigerina spp - Hantkenina sp - Turborotalia cerroazulensis Assemblage zone

Lepidocyclus - operculina - Ditrupa Assemblage zone

Archaias hensonii, Archaias asmaricus, Miogypsinoides complanatus, Spiroclypeus blanckenhorni Assemblage zone.

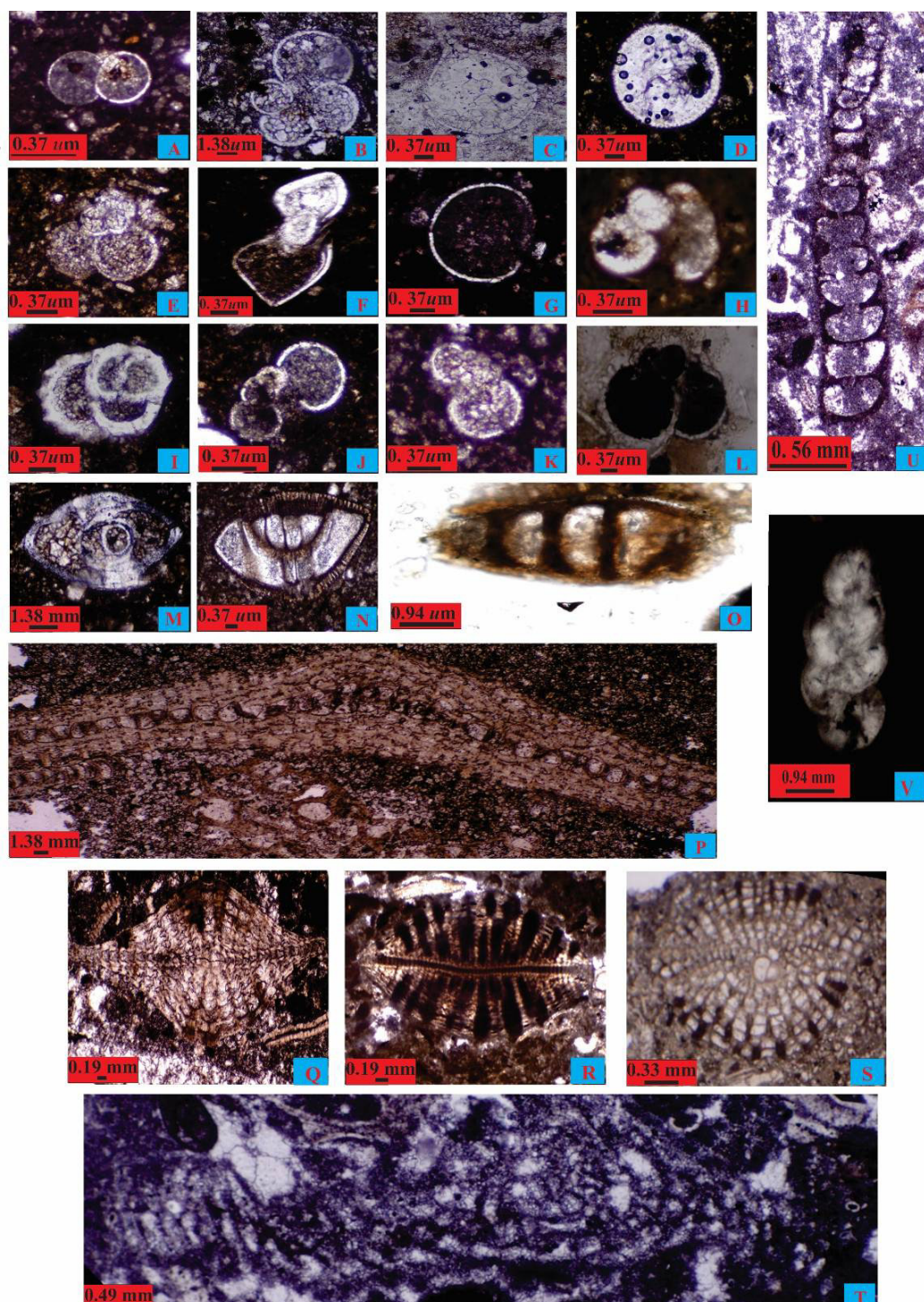


Plate 1: A; *Globigerina* sp. (Transverse section; Mn A, Depth, 3638). B; *Catapsydrax dissimilis* (Transverse section; Mn A, Depth 3638). C; *Hantkenina* sp. (Oblique section; Mn A, Depth, 3597). D; *Globigerina mexicana* (Oblique section; Mn A, Depth 3636). E; *subbotina* sp. (Oblique section; Mn A, Depth 3636). F; *Globonomalina* sp. (Oblique section; Mn A, Depth 3638). G; *Orbulinoides* sp. (Oblique section; Mn A, Depth 3688). H; *Turborotalia pomeroli* (Oblique section; Mn A, Depth 3626). I; *Striata uvigerinid* (Genus sp1) (Oblique section; Mn A, Depth 3626, 3636). J; *Dentoglobigerina yeguaensis* (Axial section; Mn A, Depth 3636). K; *Globigerina praebulloides* (Axial section; Mn A, Depth 3636). L; *Zeaglobigerina ampliapertura* (Oblique section; Mn B – Depth 3184.50). M; *Lenticulina* sp. (Axial section; Mn A, Depth, 3438). N; *Heterolepa* sp. (Axial section; Mn B, Depth 3264). O; *Haplophragmum* sp. (Axial section; Mn B, Depth ,3072). P; *Eulepidina elephantina*, (Mn A, Depth 3525). Q; *Lepidocyclus* sp. (Axial section; Mn A, Depth 3488). R; *Nephrolepidina marginata* (Axial section; Mn A, Depth, 3412). S; *Nephrolipidina tournoeuri* (Axial section; Mn A, Depth 3412).T; *Archaias* sp.(Axial section; Mn A, Depth 3416.50). U; *Praerhynchionina delicata* (Axial section; Mn, A, Depth 3416.5). V; *Euvigerina iranica* (Axial section; Mn B, Depth 3193.6).



Plate 2: A; *Amphistegina cf. lessoni* (Axial section; Mn A, Depth, 3505). B; *Miogypsinoides complanatus* (Transverse section; Mn A, Depth 3414. C; *Heterostegina* sp. (Transverse section; Mn A, Depth, 3499). D; *Heterostegina precursor* (Transverse section; Mn B, Depth, 3032). E; *Amonia beccarii* (Transverse Section; Mn B, Depth 3032). F; *Dendritina rangi* (Axial section, Mn B, Depth 2998). G; *Austrotellinella howchinii* (Axial section;Mn A, Depth, 3426). H; *Pyrgo* sp.(Equatorial section; Mn, A, Depth 3471). I; *Amphistegina cf. conoides* (Axial section; Mn A, Depth, 3505). J; *Sphaerogypsina globula* (Equatorial section; Mn, A - Depth 3437). K; *Chilostomella* sp. (Axial setione, Mn B, A, Depth 3180, 3577). L; *Discorbis* sp. (Oblique section; Mn A – Depth 3436). M; *Elphidium* sp. 1 (Transverse section; Mn A, Depth 3433). N; *Spiroloculina* sp. (Axial section;Mn B, Depth 2995). O; *Rotalia viennotti* (Transverse section; Mn A, Depth 3465). P; *Valvulina* sp. (Axial section; Mn A, Depth 3436). Q; *Textularia* sp. (Axial section, Mn A, Depth, 3560). R; *Planorbulina* sp. (Transverse section; Mn, A, Depth 3437). S; *Victorela* sp. (Axial section, Mn 312, 3447). T; *Eulepidina dilitata*, (Mn 312 , Depth 3497). U; *Spiroclypeous blankenhorni* (Axial section; Mn B, Depth, 3043). V; *Heterostegina* sp (Axial section, Mn, A, Depth, 3505). W; *Operculina complanata* (Axial section; Mn B, Depth, 3043).

- بینازاده، ط.، بینازاده، ع.، وفایی، ط (۱۳۹۶) ریزخسارهای محیط‌رسوی و چینه‌نگاری سازند آسماری در برش دشت‌روم (جنوب یاسوج). *فصلنامه علوم زمین*، ۱۰۶ (۲۷)، ص ۱۶۹ تا ۱۷۸.
- حسین‌زاده، ر. ف (۱۳۸۷) باپاواستراتیگرافی و سکانس استراتیگرافی سازند پابده در برش کاور، رساله کارشناسی ارشد، دانشگاه تهران، ص ۲۳۰.
- ذبیحی زوارم، ف، وحیدی‌نیا، م، صادقی، ع، امیری‌بختیار، ح، محبوی، ا (۱۳۹۴) زیست‌چینه‌نگاری و محیط‌رسوی‌گاری سازند آسماری در تاقدیس‌های چناره ماله کوه و میدان نفتی قلعه نار. پایان‌نامه دکتری دانشگاه فردوسی مشهد، ۲۷۷ ص.
- رحیم‌آبادی، م، وزیری‌مقدم، ح، صیرفیان، ع، ستوهیان، ف (۱۳۹۸) زیست‌چینه‌نگاری و ریزخسارهای سازند آسماری در یال شمالی تاقدیس خامی (شمال گچساران)، نشریه علمی پژوهشی زمین‌شناسی نفت ایران، ۸ (۱۶)، ص ۲۵ - ۲۵.
- زارع، م، وحیدی‌نیا، م، محمودی‌قرایی، م. ح (۱۳۹۸) چینه‌نگاری زیستی، ریزخسارهای، محیط‌رسوی و دیرینه - بوم شناختی سازند آسماری در جنوب باختری ایران، نشریه علمی پژوهشی رسوب‌شناسی کاربردی، ۷ (۱۳)، ص ۱۰۲ - ۱۳۰.
- صادقی، ع و هداوند‌خانی، نسرین (۱۳۸۹) زیست‌چینه‌نگاری سازند پابده در برش چینه‌شناسی امام‌زاده - سلطان ابراهیم (شمال غرب ایده)، *فصلنامه زمین‌شناسی ایران*، ۴ (۱۵)، ص ۹۸ - ۸۱.
- طاهری، م. ر، آورجانی، ش (۱۳۸۷) بازنگری زیست‌چینه‌نگاری سازند آسماری در میدان نفتی مارون (چاه شماره ۲۸۱). مجموعه مقالات دوازدهمین همایش انجمن زمین‌شناسی ایران.
- طاهری، م. ر، وزیری‌مقدم، ح، طاهری، ع. ا، غبیشاوی، ع (۱۳۹۴) ریزخسارهای و محیط‌رسوی سازند آسماری در زون ایده (منطقه ایده) حوضه رسوی زاگرس. نشریه علمی پژوهشی زمین‌شناسی نفت، ۵ (۱۰)، ص ۴۵ - ۲۰.
- غلام‌پور موگهی، س، وزیری‌مقدم، ح، صالحی، م، ارزانی، ن، آرمون، ا (۱۳۹۶) زیست‌چینه‌نگاری و ریزخسارهای سازندهای شهبازان و آسماری (گذر از اثوسن به الیگومن) در نهشته‌های کربناته شمال فروافتادگی دزفول حوضه رسوی زاگرس. نشریه علمی پژوهشی زمین‌شناسی نفت ایران، ۷ (۱۳)، ص ۴۲ - ۲۰.
- کریمی، ن (۱۳۹۱) زیست‌چینه‌نگاری سازند پابده در برش چینه‌شناسی سلامت (جنوب غرب شیراز) بر مبنای روزنداران پلانکتون، شانزدهمین همایش انجمن زمین‌شناسی ایران، ۹ ص.

منابع

- اقباتی، ع (۱۳۸۵) زمین‌شناسی ایران، سازمان زمین‌شناسی و اکتشافات معدنی کشور، ۵۸۶ ص.
- آورجانی، ش، محبوبی، ا. موسوی‌حرمی، ر (۱۳۹۰) ریزخسارهای محیط‌های رسوی و چینه‌نگاری سکانسی رسوبات الیگومیوسن (سازند آسماری) در میدان نفتی کوپال، فروافتادگی دزفول مرکزی، *فصلنامه زمین‌شناسی ایران*، ۵ (۱۹)، ص ۴۵ - ۶۰.
- آورجانی، ش، موسوی‌حرمی، ر، محبوبی، ا، رحیم‌پور بناب، ح، امیری‌بختیار، ح (۱۳۹۰) چینه‌نگاری سکانسی و برسی کیفیت مخزنی سازند آسماری در فروافتادگی دزفول شمالی (میدان‌های نفتی هفتکل، کوپال و مارون)، حوضه زاگرس، جنوب‌غرب ایران، رساله دکتری، دانشگاه فردوسی مشهد، ۳۵۴ ص.
- آخری، س، صیرفیان، ع، وزیری‌مقدم، ح (۱۳۹۶) زیست چینه‌نگاری و دیرینه بوم‌شناسی سازند آسماری در شمال غرب روستای دریس، غرب استان فارس، نشریه رخسارهای رسوی، ۱۰ (۲)، ص ۱۷۳ - ۱۹۲.
- اسماعیل‌بیگ، م، ر (۱۳۷۶) چینه‌شناسی و بیواستراتیگرافی سازندهای پابده و جهرم در جنوب شیراز. (منطقه زنجیران)، اولین همایش انجمن زمین‌شناسی ایران، ۴ ص.
- انصاری، ع، وزیری‌مقدم، ح، طاهری، ع. ا، غبیشاوی، ع (۱۳۹۲) زیست‌چینه‌نگاری و پالئواکولوژی سازند آسماری در ناحیه تاقدیس نیل (شمال شرق دهدشت). نشریه علمی پژوهشی دیرینه شناسی، ۱۱ (۲)، ص ۱۲۱ - ۱۳۶.
- براری، م، صیرفیان، ع، وزیری‌مقدم، ح (۱۳۹۶) زیست چینه‌نگاری و ریزخسارهای سازند آسماری در تاقدیس لار (شمال خاوری گچساران)، تطابق زیست‌چینه‌ای، نشریه زمین‌شناسی نفت ایران، ۶، ص ۴۹ - ۷۳.
- بهاران، س، بابازاده، ا، پروانه‌نژاد شیرازی، م، بهرامی، م (۱۳۸۹) زیست‌چینه‌نگاری سازند پابده در برش تنگ زنجیران (جنوب شرق شیراز) بر مبنای روزنداران پلانکتون، پژوهش‌های چینه‌نگاری و رسوب‌شناسی، ۲۶ (۳۸)، ص ۱۴۵ - ۱۵۸.
- بهرامی‌زاده سجادی، ح (۱۳۸۸) رخسارهای زیستی میکروسکوبی حوضه رسوی زاگرس، پرمن - نشوژن، شرکت ملی نفت ایران، مدیریت اکتشاف، اداره مطالعات و تحقیقات زمین‌شناسی ژئوشیمی، ۶۲۲ ص.
- ثبتوت، م (۱۳۹۱) نانواستراتیگرافی مرز سازندهای گورپی پابده در برش تنگ دوراهک (جنوب تاقدیس کنگان)، شانزدهمین همایش انجمن زمین‌شناسی ایران، ۸ ص.

- نیسی، ع.، قادری، ع.، غبیشاوی، ع.، الله‌کرم‌پور دیل، م (۱۳۹۶) زیست‌چینه‌نگاری، بررسی ریزخسارهای و چینه‌نگاری سکانسی سازند آسماری به کمک نرم‌افزار سیکلولاگ در میدان نفتی قلعه نار، حوضه زاگرس. نشریه علمی پژوهشی زمین‌شناسی نفت ایران، ۱۲(۶)، ص ۲۲-۴۴.
- وزیری مقدم، ح.، عرب‌پور، ص.ا.، صیرفیان، ع.، طاهری، ع. رحمانی، ع. (۱۳۹۴) چینه‌نگاری زیستی، محیط‌رسوبی و چینه‌نگاری سکانسی سازند آسماری در چاه شماره ۴ میدان لب سفید (شمال فروافتادگی دزفول، جنوب غرب لرستان) و تنگ لنده (کوه سفید، شمال غرب دهدشت). نشریه علمی پژوهشی زمین‌شناسی نفت ایران، ۵(۱۰)، ص ۸۷-۱۱۹.
- هداوندخانی، ن.، صادقی، ع.، آدابی، م. ح.، طهماسبی سروستانی، ع. ر. (۱۳۹۶) چینه‌شناسی و معروفی زون‌های زیستی جدید در برش تنگ‌حتی (زون ایده)، پژوهش‌های چینه‌نگاری و رسوب‌شناسی، ۳۳(۶۷)، ص ۱-۱۸.
- هداوندخانی، ن.، صادقی، ع.، آدابی، م. ح.، طهماسبی (۱۳۹۷) سنگ چینه‌نگاری و زیست‌چینه‌نگاری سازند پابده در برش روستای چهارده (پهنه ایده، خوزستان)، فصلنامه علوم زمین، ۲۷(۱۰۷)، ص ۱۳۷-۱۵۰.
- Adams T. D., Bourgeois F (1967) Asmari biostratigraphy. *Geol Explor Div, IOOC Rep 1074, Tehran (unpublished)*.
- Akhzari, S., Seyrafian, A., Vaziri-Moghaddam, H (2015) Oligocene ramp system (Asmari Formation) in the west of Fars province: Microfacies and sedimentary environment. National Conference on Novel Applied Researches, Urmia, 1: 60-61.
- Alavi, M (2004) Regional stratigraphy of the Zagros fold-thrust belt of Iran and its proforeland evolution. *American Journal of Science, 304: 1-20*.
- Allahkarampour Dill, M., Seyrafian, A. Vaziri-Moghaddam , H (2010) The Asmari Formation, north of the Gachsaran (Dill anticline), southwest Iran: facies analysis, depositional environments and sequence stratigraphy: Carbonates and Evaporites, 25: 145-160.
- Allahkarampour Dill, M., Seyrafian, A. Vaziri-Moghaddam , H (2012) Palaeoecology of the Oligocene-Miocene Asmari Formation in the Dill anticline, N. Jb. Geol. Palont. Abh, 10: 1-18.
- Allahkarampour Dill, M., Vaziri-Moghaddam, H., Seyrafian, A. Behdad (Ghabeishavi), A (2018) Oligo-Miocene carbonate platform evolution in the northern margin of the Asmari intra-shelf basin, SW Iran: Marine and Petroleum Geology, 92: 437-461.
- Alsharhan, A.S., Kendall, C. G. S. C (2003) Holocene coastal carbonates and evaporites of کلنان، ب.، وزیری مقدم، ح.، طاهری، ع (۱۳۸۹) زیست‌چینه نگاری و پالواکولوژی سازند آسماری در جنوب‌غرب فیروزآباد. رخسارهای رسوی، ۱(۳)، ص ۷۱-۸۴.
- کلنان، ب.، وزیری مقدم، ح.، وحیدی‌نیا، م (۱۳۹۳) مقایسه چینه‌نگاری سکانسی و محیط‌رسوبی سازند آسماری در نواحی فارس، خوزستان و لرستان از حوضه زاگرس. نشریه علمی پژوهشی رخسارهای رسوی، ۷(۱)، ص ۱۰۷-۱۲۴.
- گرمابی، ا. وزیری، س. ح (۱۳۸۶) میکروبیو استراتیگرافی سازند پابده در جاه سیری دنا-۱ در خلیج فارس، بیست و ششمین گردهمایی علوم زمین، ۸، ص.
- کمالی‌فر، ف.، آل‌علی، س.م.، احمدی، و. ف، میرزایی، ا (۱۳۹۸) زیست‌چینه‌نگاری، ریزخسارهای، محیط‌رسوبی رسوبات الیگومیوسن بر مبنای فرامینیفرها در زون زاگرس (فارس داخلی و ساحلی)، نشریه علمی پژوهشی رسوب‌شناسی کاربردی، ۷(۱۳)، ص ۵۷-۶۷.
- گودرزی، م.، وحیدی‌نیا، م.، امیری‌بختیار، ح.، نورایی‌نژاد، م. ر (۱۳۹۸) مطالعات چینه‌شناسی و فسیل‌شناسی بخش فوقانی سازند پابده و بخش زیرین سازند آسماری با تأکید بر مرز بین دو سازند در میدان نفتی مارون با استفاده از مطالعات چینه‌نگاری و نرم‌افزار سیکلولاگ، پایان‌نامه کارشناسی ارشد، ۳۲۸، ص.
- گودرزی، م.، وحیدی‌نیا، م.، امیری‌بختیار، ح.، نورایی‌نژاد، م. ر (۱۳۹۸) زیست‌چینه‌نگاری، ریزخسارهای و محیط رسوبیگذاری سازند آسماری در یکی از چاههای میدان نفتی مارون و مقایسه آن با سایر نواحی زاگرس. نشریه علمی پژوهشی رخسارهای رسوی، ۱۲(۲) (در حال چاپ).
- لرستانی، م.، کنگاریان، ع. ح.، صفری، ا.، نورا، م. ر (۱۳۹۷) محیط‌رسوبی و چینه‌نگاری سکانسی نهشته‌های آسماری در میدان نفتی هفتکل (چاه ۲۸) واقع در فروافتادگی دزفول و مقایسه آن با میدان نفتی مسجد سلیمان (چاه ۱۸۶)، استان خوزستان، فصلنامه علوم زمین، ۲۸(۱۰)، ص ۷۹-۸۸.
- مطیعی، ه (۱۳۷۲) چینه‌شناسی زاگرس. از انتشارات طرح تدوین کتاب زمین‌شناسی ایران، ۵۳۶، ص.
- منیبی، س.، نظری سامانی، پ (۱۳۹۳) مطالعه و بازنگری سنی زیست‌چینه‌ای سازند آسماری در یکی از میدان‌جنوب غرب ایران. پژوهش شرکت نفت.
- نجفی، ا (۱۳۷۷) میکروبیو استراتیگرافی پابده در شمال شرقی فروافتادگی دزفول و ارتباط چینه‌ای سازندهای تلمزگ، کشکان و شهریار، پایان‌نامه کارشناسی ارشد، دانشگاه تربیت معلم، ۱۲۰، ص.

- Brandano, M., M. Morsili, G. Vannucci, M. Parente, F. Bosellini, and G. Mateu-Vicens (2010) Rhodolith-rich lithofacies of the Porto Badisco Calcarenites (upper Chattian, Salento, southern Italy): Italy Journal Geoscience, 129 (1): 119-131.*
- Busk, H. G., and Mayo, H. T (1918) Some notes on the geology of the Persian Oilfields: Journal of the Institution of Petroleum Technologists, 5: 5-26.*
- Buxton, M. W. N., Pedley, H. M (1989) A standardized model for Thethyan Tertiary carbonate ramps, London. Journal of the Geological Society, 146: 746-748.*
- Cahuzac, B. & Poignant, A (1997) Essai de biozonation de l'Oligo-Miocène dans les bassins européens à l'aide des grands foraminifères néritiques. Bulletin de la Société géologique de France, 168: 155-169.*
- Carannante, G., M. Esteban, J. D. Milliman, and L. Simon (1988) Carbonate lithofacies as paleolatitude indicators: problems and limestone: Sediment. Geol, 60: 333-346.*
- Corda, L., and M. Brandano (2003) Aphotic zone carbonate production on a Miocene ramp, Central Apennines, Italy: Sed. Geol., 161: 55-70.*
- Cosovic, V. K., and A. Moro (2004) Paleoenvironmental model for Eocene foraminiferal limestones of the Adriatic carbonate platform (Istrian Peninsula): Facies, 50: 61-75.*
- Dunham, R (1962) Classification of carbonate rocks according to depositional texture, in Ham, W. E., (ed.), Classification of carbonate rocks. AAPG Memoir 1, Tulsa, 108-121.*
- Ehrenberg, S. N., Pickard, N. A. H., Laursen, G. V., Monibi, S., Mossadegh, Z. K., Svana, T. A., Aqrabi, A. A. M., McArthur, J. M. and Thirlwall, M. F (2007) Strontium Isotope Stratigraphy of the Asmari Formation (Oligocene - Lower Miocene), SW Iran, Journal of Petroleum Geology, 30(2): 107-128.*
- Embry, A. F. and Klovan, J. E (1971) A late Devonian reef tract on northeastern Banks Islands, Northwest Territories: Bulletin of Canadian Petroleum Geology, 19: 730-781.*
- Flügel, E (2004) Microfacies of carbonate rocks, analysis interpretation and application. BerlinHeidelberg, New York. Springer, 976 p.*
- Flügel, E (2010) Microfacies of carbonate rocks, analysis, interpretation and application. Springer, Berlin, p. 976.*
- Geel, T (2000) Recognition of stratigraphic sequence in carbonate platform and slope deposits: empirical models based on microfacies analysis of Palaeogene deposits in southeastern Spain. Palaeogeography, Palaeoclimatology, Palaeoecology, 155: 211-238.*
- the southern Arabian Gulf and their ancient analogues. Earth-Science Rev. 61: 191-243.*
- Amirshahkarami, M (2008) Distribution of Miogypsinoïdes in the Zagros Basin, Southwest of Iran. Historical Biology, 20 (3): 175-184.*
- Amirshahkarami, M., Ghabishavi, A., Rahmani, A (2010) Biostratigraphy and paleoenvironment of the larger benthic foraminifera in wells sections of the Asmari Formation from the Rag-e-Safid Oil field, Zagros Basin, southwest Iran, Stratigraphy and Sedimentology Researches, 40: 63-48.*
- Bachmann, M. Hirsch, F (2006) Lower Cretaceous carbonate platform of the eastern Levant (Galilee and Golan Heights): Stratigraphy and second-order sea-level change, Cretaceous Research, 27: 467-512.*
- Bassi, D., Hottinger, L., Nebelsick, J (2007) Larger foraminifera from the Upper Oligocene of the Venetian area, North-East Italy. Paleontology, 50: 845-868.*
- Berggren, W. A. Pearson, P. N (2005) A revised tropical and subtropical Paleogene planktonic foraminiferal zonation. J. Foramin.Res. 35: 279-298.*
- Beavington-Penney SJ, Wright VP, Woelkerling WJ (2004) Recognising macrophyte-vegetated environments in the rock record: a new criterion using 'hooked' forms of crustose coralline red algae. Sediment Geol, 166(1-2): 1-9.*
- Bölli, H. M., Loeblich, A. R., Jr., Tappan, H (1957) Planktonic foraminiferal families Hantkeninidae, Orbulinidae, Globorotaliidae, and Globotruncanidae, in Loeblich, A. R., Jr., and collaborators, Studies in Foraminifera: United States National Museum Bulletin, 215: 3-50.*
- Bölli, H. M., Saunders, J. B., and Nielsen, K. P (1987) Plankton Stratigraphy: Cambridge University Press, New York, p. 1023.*
- Boudagher-Fadel, M. K (2008) Evolution and Geological Significance of Larger Benthic Foraminifera, Developments in Paleontology and Stratigraphy, 21. Elsevier, Amsterdam, p 544.*
- Boudagher-Fadel, Marcelle K (2015) Biostratigraphic and geological significance of planktonic foraminifera, 22. Newnes, 320.*
- Boudagher-Fadel, M. K (2013) Biostratigraphic and Geological Significance of Planctonic Foraminifera, 21. Elsevier, Amsterdam, p. 544.*
- Brandano, M., Frezza, V., Tomassetti, L., Cuffaro, M (2009) Heterozoan carbonates in oligotrophic tropical waters: The Attard member of the lower coralline limestone formation (Upper Oligocene, Malta) Palaeogeography, Palaeoclimatology, Palaeoecology, 274: 54-63.*

- and new biozonation, First international petroleum conference & exhibition, Shiraz, Iran.
- Lees, A., A. T. Buller (1972) Modern temperate water and warm water shelf carbonate sediments contrasted: *Marine Geol.*, 13: M67-M73.
- Lee, J., J (1990) Fine structure of rodophycean *profyridium purpureum* insitu in *Peneroplis pertusus* and *P. asicularis*. *J Foram Res* 20:162-169.
- Lees, G. M (1933) The reservoir rocks of Persian oil fields: *American Association Petroleum Geology Bulletin*, 17, (3): 229-240.
- Loeblich, A.R., and Tappan, H (1980) *Foraminiferal Genera and their Classification*: Van Nostrand Reinhold Company, New York, p. 970.
- Mosadegh, Z. K., Haig, D. W., Allan, T., Adabi, M. H., Sadeghi, A (2009) Salinity changes during Late Oligocene to Early Miocene Asmari Formation deposition, Zagros Mountains, Iran. *Palaeogeography, Palaeoclimatology, Palaeoecology*, 272: 17-36.
- Mutti, M., Hallock, P (2003) Carbonate systems along nutrient and temperature gradients: some sedimentological and geochemical constraint. *Int J Earth Sci*, 92: 465-475.
- Nelson, C. s., S. L. Keane, and P. S. Head (1988) Non-tropical carbonate deposits of the modern New Zealand shelf: *Sedimentology Geological*, 160:71-96.
- Permoli Silva, I. and Bolli, H. M (1973) Late Cretaceous to Eocene planktonic foraminifera and stratigraphy of Leg 15 sites in the Caribbean Sea, in Edgar, N. T., Saunders, J. B., and others, (eds.), *Initial Reports of the Deep Sea Drilling Project*, v. 15: U.S. Government Printing Office, Washington, D.C. 449-547.
- Premoli Silva, I., Petrizzo, M.R (2006) Practical Manual of Eocene Planktonic Foraminifera.—International School on Planktonic Foraminifera, Universita degli Studi di Perugia, Universita degli Studi di Milano. Perugia, 248p.
- Pomar, L (2001) a, Types of carbonate platforms: a genetic approach: *Basin Research*, 13: 313-334.
- Pomar, L (2001) b, Ecological control at sedimentary accommodation: evolution from a carbonate ramp to rimmed shelf, Upper Miocene, Balearic Island: *Palaeogeography, Palaeoclimatology, Palaeoecology*, 175(1): 249-272.
- Pomar, L., Brandano, M., Westphal, H (2004) Environmental in feliuncing skeletal grain sediment associations: a critical review of Miocene examples from the western Mediterranean. *Sedimentology*, 51: 627-651.
- Hallock, P., Glenn, E. C (1986) Larger foraminifera: a tool for paleoenvironmental analysis of Cenozoic carbonates depositional facies. *Palaios*, 1: 44-64.
- Hallock, P (1979) Trends in test shape with depth in large symbiont-bearing foraminifera: *Journal of Foraminiferal Research*, 9(1): 61-69.
- Hallock, P (1998) Habitats of modern larger foraminifera: taxonomic, depth and regional comparisons: Conference abstract, Tertiary to Recent larger foraminifera- their depositional environments and importance as petroleum reservoirs (Kingston- upon- Thames), 13 p.
- Hallock, P., Pomar, L (2008) Cenozoic evolution of larger benthic foraminifers: paleoceanographic evidence for changing habitats. In: *Proceedings of the 11th International Coral Reef Symposium*, pp. 16-20 Lauderdale, Florida.
- Hohenegger, J., Yordanova, E., Tatzreiter, Y (1999) Habitats of larger foraminifera on the upper reef slope of Sesko Island, Okinawa: *Marine Micropaleontology*, 36(2): 109-168.
- Hohenegger, J., Yordanova, E., Hatta, A (2000) Remarks on West Pacific Nummulitidae (Foraminifera): *Journal of Foraminiferal Research*, 30(1): 3-28.
- Hottinger, L (1980) Répartition comparée des grands foraminifères de la mer Rouge et de l'Océan Indien: *Annali dell'Università di Ferrara*, 6: 35-51.
- Hottinger, L (1983) Processes determining the distribution of larger foraminifera in space and time, in Meulenkamp, J.E. (ed.), *Reconstruction of marine paleoenvironments: Utrecht Micropaleontological Bulletin*, 30: 239-253.
- Hottinger, L (1997) Shallow benthic foraminiferal assemblages as signals for depth of their deposition and their limitation: *Bulletin de la Société Géologique de France*, 168(4): 491-505.
- James, G. A., and Wynd, J. G (1965) Stratigraphic nomenclature of Iranian Oil Consortium Agreement Area. *AAPG Bulletin*, 49: 2182 - 2245.
- Kindler, P., and M. E. J. Wilson (2012) Carbonate grain association: their use and environmental significance, a Brief Review, Carbonate System during the Oligocene-Miocene Climatic Transition: Wiley-Blackwell, p. 35-47.
- Lacassagne, R.M.A (1963) Asmari sedimentary environment. Unpublished Report of the Geological and Exploration Division, Iranian Oil offshore company, no.1041.
- Laursen, G. V, Monibi, S., Allan, T. L., Pickard, N. A. H., Hosseiney, A., Vincent, B., Hamon, Y., Van Buchem, F. S. H., Moallemi, A., and Driullion, G (2009) The Asmari Formation revisited: Changed stratigraphic allocation

- (Asmari Formation) in Fars sub basin, Zagros Mountains, southwest Iran, *Facies*, 57: 431–446.
- Sadeghi, R., Vaziri-Moghaddam, H. and Mohammadi, E (2018) Biofacies, depositional model, and sequence stratigraphy of the Asmari Formation, Interior Fars sub-zone, Zagros Basin, SW Iran. *Carbonates and Evaporites*, 33(3): 489-507.
- Shabafrooz, R., Mahboubi, A., Vaziri-Moghaddam, H., Ghabeishavi, A., Moussavi-Harami, R (2015) a. Depositional architecture and sequence stratigraphy of the oligo-miocene Asmari platform; Southeastern Izeh zone, Zagros Basin, Iran. *Facies*, 61 (1).
- Shabafrooz, R., Mahboubi, A., Vaziri-Moghaddam, H., Moussavi-Harami, R., Ghabeishavi, A., Al-Aasm, I.S (2015) b. Facies analysis and carbonate ramp evolution of oligomiocene Asmari formation in the gachsaran and bibi-hakimeh oilfields and the nearby mish anticline, Zagros Basin. *Iran Neues Jahrb. für Geol. Paläontologie – Abh* 276 (1): 121–146.
- Seyrafian, A., Hamedani, A (1998) Microfacies and depositional environment of the Upper Asmari Formation (Burdigalian), North-Central Zagros Basin, Iran: *Neues Jahrbuch für Geologie und Palaontologie –Abhandlungen*, 210 (2): 129-141.
- Seyrafian, A (2000) Microfacies and depositional environments of the Asmari Formation, at Dehdes area (Acorrelation across Central Zagros Basin). *Carbonates Evaporites*, 15: 2248.
- Seyrafian, A. and Mojikhaleh, A (2005) Biostratigraphy of the Late Paleogene-Early Neogene Succession, North-Central Border of Persian Gulf, Iran, *Carbonates and Evaporites*, 20(1): 91–97.
- Seyrafian, A., Vaziri-Moghaddam, H., Arzani, N., Taheri, A (2011) Facies analysis of the Asmari Formation in central and north-central Zagros basin, southwest Iran. Biostratigraphy, paleoecology and diagenesis. *Rev. Mex. ciencias Geol.*, 28: 439–458.
- Shinn, E (1983) Tidal flats, in Scholle, P.A., Bebout, D. G., Moore, C.H. (eds.), *Carbonate Depositional Environments*: American Association of Petroleum Geologists Memoir, 33: 171–210.
- Sooltanian, N., Seyrafian, A., Vaziri-Moghaddam, H (2011) Biostratigraphy and paleo-ecological implications in microfacies of the Asmari Formation (Oligocene), Naura anticline (Interior Fars of the Zagros Basin), Iran. *Carbonates and Evaporites*, 26(2): 167-180.
- Taheri, M.r., Vaziri-Moghaddam, H., Taheri, A., Ghabeishavi, A (2017) Biostratigraphy and paleoecology of the oligo-miocene Asmari
- Pomar, L., Hallock, P (2007) Changes in coral-reef structure through the Miocene in the Mediterranean province: adaptive vs. environmental: *Earth Seince*, 35: 899-902.
- Pomar, L., Hallock, P (2008) Carbonate factories: A conundrum in sedimentary geology: *Earth Seince*, 81: 134-169.
- Pomar L, Mateu-Vicens G, Morsilli M, Brandano M (2014) Carbonate ramp evolution during the Late Oligocen (Chattian), Salento Peninsula, southern Italy. *Palaeogeogr Palaeoclimatol Palaeoecol*, 404:109–132.
- Rahmani, A., Vaziri-Moghaddam, H., Taheri, A. and Ghabeishavi, A (2009) A Model for the Paleoenvironmental Distribution of Larger Foraminifera of Oligocene–Miocene Carbonate Rocks at Khaviz Anticline, Zagros Basin, Sw Iran. *Historical Biology: An International Journal of Paleobiology*, 21(3): 215–227.
- Rahmani, A., Taheri, A., Vaziri-Moghaddam, H. and Ghabeishavi, A (2012) Biostratigraphy of the Asmari Formation at Khaviz and Bangestan Anticlines, Zagros Basin, Sw Iran, *Neues Jahrbuch für Geologie und Paläontologie-Abhandlungen*, 263(1): 1–16.
- Renema, W., & Troelstra, S.R (2001) Larger foraminifera distribution on a mesotrophic carbonate shelf in SW Sulawesi (Indonesia). *Palaeogeography, Palaeoclimatology, Palaeoecology*, 175: 125-147.
- Reuter, M., Piller, W. E., Harzhauser, M., Mandic, O., Berning, B., Rogl, F., Kroh, A., Aubry, M. P., Wielandt-Schuster, U., & Hamedani, A (2009) The Oligo-/Miocene Qom Formation (Iran): evidence for an Early Burdigalian restriction of Tethyan Seaway and closure of its Iranian gateways. *International Journal of Earth Sciences*, 98: 627-650.
- Reichel, M (1936-1937) Etude sur les alveolines. *Soc. Paleout Suisse Mem*, 57 - 59.
- Richardson, R. K (1924) The geology and oil measures of southwest Persia, *Journal Institute Petroleum Technology*, 10: 256–283.
- Romero, J., Caus, E., Rosell, J (2002) A model for the palaeoenvironmental distribution of larger foraminifera based on late Middle Eocene deposits on the margin of the South Pyrenean basin (NE Spain): *Palaeogeography, Palaeoclimatology, Palaeoecology*, 179(1): 43–56.
- Roozpeykar, A. Moghaddam, I. M (2016) Sequence biostratigraphy and paleoenvironmental reconstruction of the Oligocene-early Miocene deposits of the Zagros Basin (Dehdasht area, South West Iran). *Arabian Journal of Geosciences*, 9(1): 77.
- Sadeghi, R., Vaziri-Moghaddam, H., Taheri, A (2010) Microfacies and sedimentary environment of the Oligocene sequence

- Larger benthic foraminifera: a tool for biostrigraphy, facies analysis and paleoenvironmental interpretations of the OligoMiocene carbonates, NW Central Zagros Basin, Iran. *Arabian Journal of Geosciences*, 8: 2: 931-949.
- Zamagni J, Kos'ir A, Mutti M (2009) The first microbialite-coral mounds in the Cenozoic (Uppermost Paleocene) from the Northern Tethys (Slovenia): environmentally-triggered phase shifts preceding the PETM? *Palaeogeogr Palaeoclimatol Palaeoecol*, 274: 1-17.
- formation in the Izeh zone (Zagros Basin, SW Iran). *Bol. Soc. Geol. Mex.* 69 (1): 59-85.
- Tesovic, B, Gusic I, Jelaska V, Buckovic D (2001) Stratigraphy and microfacies of the Upper Cretaceous Pucisca ormation, Island of Brac, Croatia. *Cretac Res*, 22: 591-613.
- Tomasovych, A (2004) Microfacies and depositional environment of an Upper Triassic intra-platform carbonate basin: the Fatic Unit of West Carpathians (Slovakia). *Facies*, 50: 77-105.
- Thomas, A. N (1948) The Asmari limestone of southwest Iran; Anglo-Iranian Oil Company Report, 706 p, unpublished.
- van Buchem, F. S. P., Allan, T. L., Laursen, G. V., Lotfpor, M., Moallemi, A., Monibi, S., Motiei, H., Pickard, N. A. H., Tahmasbi, A. R., Vedrenne, V., and Vincent, B (2010) Regional stratigraphic architecture and reservoir types of the Oligo-Miocene deposits in the Dezful Embayment (Asmari and Pabdeh Formations) SW Iran. *Geological Society, London, Special Publications*, 329: 219-263.
- Vaziri-Moghaddam, H., Kimiagari, M. Taheri, A (2006) Depositional environment and sequence stratigraphy of the Oligo-Miocene Asmari Formation in SW Iran: *Facies*, 52(1): 41-51.
- Vaziri-Moghaddam, H., Seyrafian, A., Taheri, A., Motiei, H (2010) Oligo-Miocene ramp system (Asmari Formation) in the NW of the Zagros basin, Iran: Microfacies, paleoenvironment and depositional sequence: *Revista Mexicana de Ciencias Geológicas*, 27(1): 56-71.
- Wade, B. S., Berggren, W. A. and Plike, H (2011) Review and revision of Cenozoic tropical planktonic foraminiferal biostratigraphy and calibration to the Geomagnetic Polarity and Astronomical Time Scale. *Earth-Science Reviews*. 104: 111-142.
- Warren, J (2000) Dolomite: occurrence, evolution and economically important associations, *Earth-Science Reviews*, 52: 1-81.
- Wilson, J. L (1975) Carbonate facies in geological history: Springer, Berlin, p. 471.
- Wilson, M. E. J., Vecsei, A (2005) The apparent paradox of abundant foramol facies in low latitudes: their environmental significance and effect on platform development. *Earth-Science Reviews*, 69: 133-168.
- Wynd, J. G (1965) Biofacies of the Iranian oil Consortium Agreement Area (I.O.O.C), Unpublished Report no. p. 1082, 88.
- Zabihi Zoeram, F., Vahidinia, M., Mahboubi, A., & Amiri Bakhtiar, H (2013) Facies analysis and sequence stratigraphy of the Asmari Formation in the northern area of Dezful Embayment, south-west Iran. *Studia UBB Geologia*, 58(1): 45 - 56.
- Zabihi Zoeram, F., Vahidinia, M., Sadeghi, A., Mahboubi, A., & Amiri Bakhtiar, H (2015)